

ハドロン・コライダーの物理

神戸大学集中講議 1-ト

2002.6-19~21

岡山大学・理学部・物理

田中亮三郎

目次

1. ハドロン衝突型加速器

- 1.1 加速器の歴史
- 1.2 重心系と実験室系
- 1.3 シンクロトロン放射
- 1.4 LHCの重心系エネルギー
- 1.5 ルミ/シティ
- 1.6 ハドロン・コライダーでの運動学
- 1.7 パートン分布関数
- 1.8 PP散乱の断面積とミニマム・バイアス

2. 標準模型

- 2.1 基本相互作用
- 2.2 対称性と保存則
- 2.3 弱い相互作用
- 2.4 V-A理論

3. ゲージ理論

- 3.1 Maxwell理論
- 3.2 ゲージ・ボソンの相互作用
- 3.3 標準電弱理論
- 3.4 ヒッグス機構
- 3.5 ボソン結合
- 3.6 フェルミオン
- 3.7 湯川結合
- 3.8 ヒッグス粒子の崩壊
- 3.9 ヒッグス粒子の生成
- 3.10 W, Zボソンの崩壊

4. ハドロン・コライダーでの物理

- 4.1 電弱相互作用
- 4.2 トップ・チャーフ
- 4.3 ヒッグス粒子
- 4.4 SUSY
- 4.5 B
- 4.6 QCD
- 4.7 Exotics

5. ハドロン・コライダーでの検出器

- 5.1 概念・設計
- 5.2 飛跡検出器
- 5.3 カロリメーター
- 5.4 ミューオニ・チャンバー
- 5.5 ソレノイド, トロイド・マグネット
- 5.6 DAQ, ドリガード
- 5.7 エレクトロニクス
- 5.8 放射線

1. ハドロン衝突型加速器

1

LHC 計画の概要

Large Hadron Collider (大型ハドロン衝突型加速器)

Geneve 郊外 CERN (欧洲合同原子核研究機構)

1.1 加速器の歴史

{ 陽子シンクロトロン (固定標的実験)
コライダー型加速器

e^+e^- 衝突型加速器

SPEAR (SLAC) 1974 J/4 BNL Z ℓ . Nov. Revolution.
1975 τ lepton

PETRA (DESY) 1979 gluon

TRISTAN (日本)

SLC (SLAC)

LEP (CERN) 1989 $N_\nu = 3$

$\bar{p}p$ ($p\bar{p}$) 衝突型加速器

SppS (CERN) 1983 W, Z boson

Tevatron (FNAL) 1995 top quark

SSC (SSC) 1993 中止

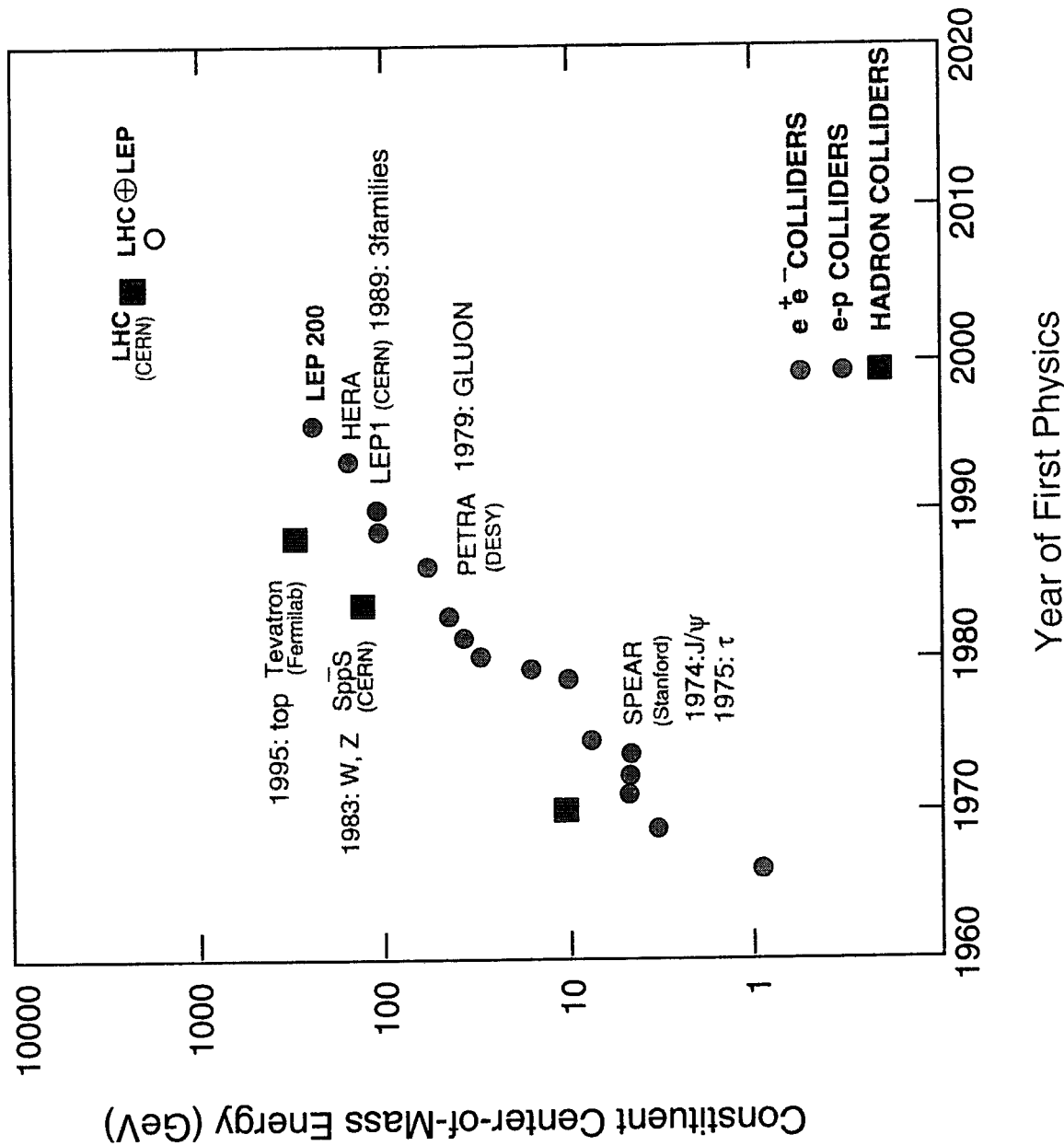
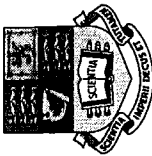
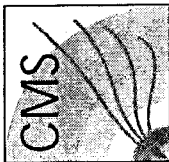
LHC (CERN) 2007稼動予定

$e p$ 衝突型加速器

HERA (DESY)

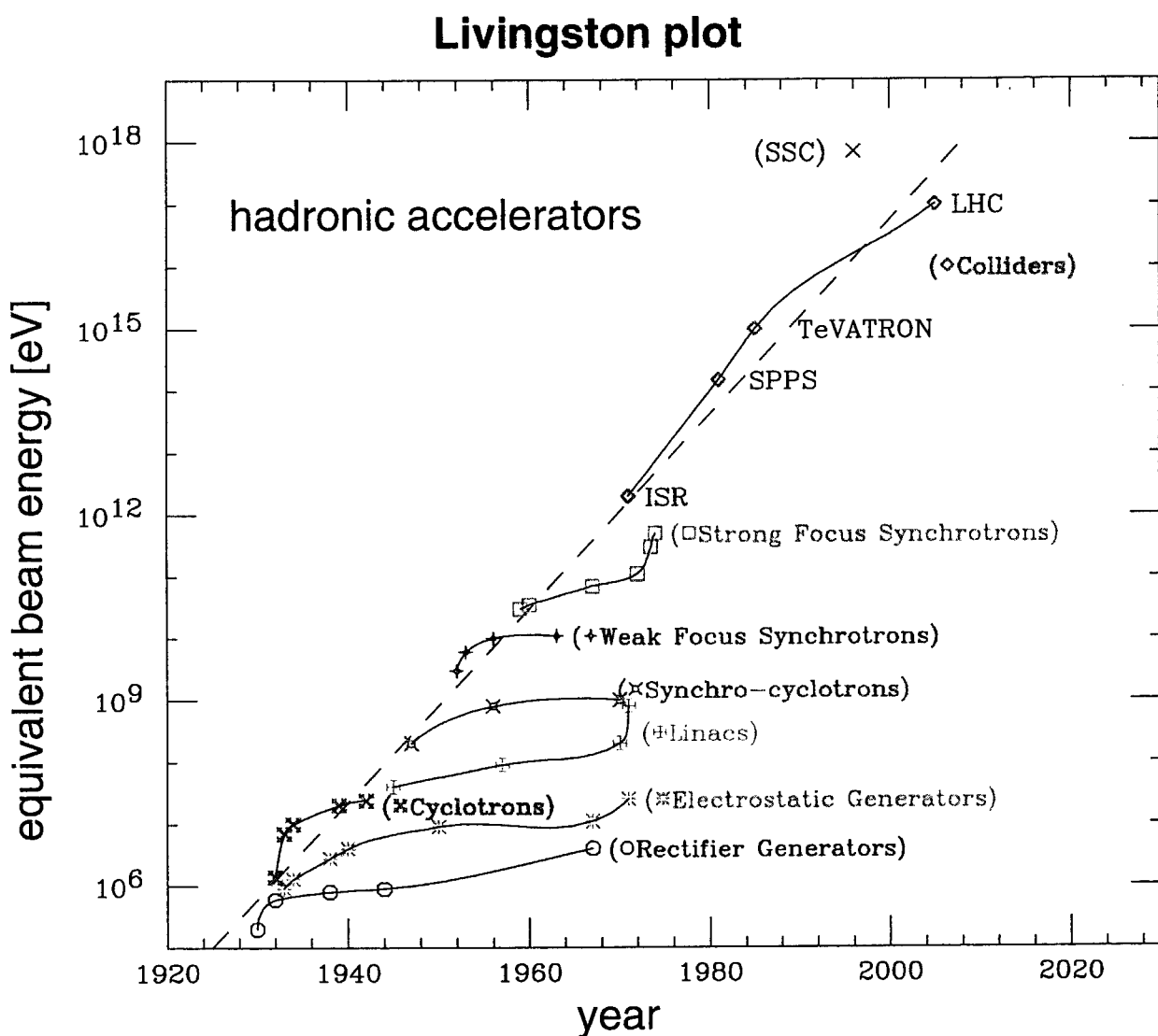
→ Livingston プロット

Pushing the Frontier of Energy



Year of First Physics

Large Hadron Collider



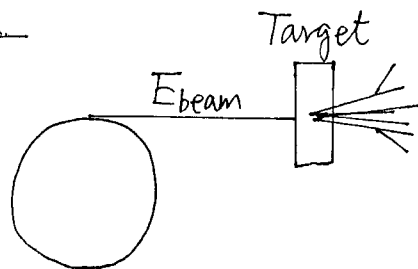
Fast increase in performance of accelerators is possible because of ever new technologies.

Superconducting magnets installed in the existing LEP tunnel will make possible proton-proton collisions with the energy $\sqrt{s}=14$ TeV.

2.

1. 2. 重心系と実験室系

a) 固定標的実験



重心系のエネルギー $E_{CM} = \sqrt{2m_p E_{beam}}$ (証明)

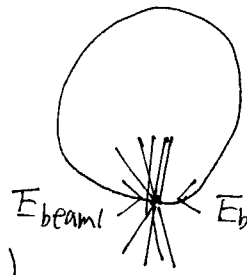
m_p : 標的陽子の質量

E_{beam} : ビームエネルギー

b) コライダー型衝突実験

重心系のエネルギー

$$E_{CM} = \sqrt{4E_{beam1}E_{beam2}} \quad (\text{証明})$$



KEKB Belle 実験 e^+e^- collider (非対称)

$$E_1 = 3.5 \text{ GeV}, E_2 = 8 \text{ GeV}$$

$$\rightarrow E_{CM} = 10.58 \text{ GeV} = M(\chi(4s))$$

($B\bar{B}$ しきい値より大きい)

ex. Tevatron $\bar{p}p$ collider

$$E_{CM} = 1 \text{ TeV}$$

これを 固定標的実験で実現しようとすると、

$$E_{beam} = E_{CM}^2 / 2m_p \approx 2000 \text{ TeV} \text{ 必要!}$$

1.3 シンクロトロン放射

高エネルギー加速器に使える粒子 e^\pm, p, \bar{p} , 重粒子

シンクロトロン放射

半径 r で回る 質量 m , エネルギー E の粒子が失うエネルギー

$$U_0 = \frac{C_6 E_b^4}{r}, \quad C_6 = \frac{4\pi}{3} \frac{r e}{(m_e c^2)^3} = 8.86 \times 10^{-5} m \text{ GeV}^{-3}$$

ex. LEP2 $E_b = 100 \text{ GeV} \rightarrow$ 1回あたり 3% のロス!

RF による限界
放射光によるエネルギー損失 $\propto \left(\frac{E}{r}\right)^4, \quad r = \frac{E}{mc^2}$

LHC 陽子の質量は電子の 1836 倍なので
放射光によるロスは無視出来る。
 \rightarrow 曲率半径 r を限界まで小さく出来る。

反陽子の生成率 $10^8/\text{sec} \rightarrow 10^{14} \bar{p}$ に 10 日かかる!

\Rightarrow TeV 領域の物理を探るには、PP コライダーしかなり。

加速器の大きさ。

$$\text{コーレンツカ } F = q(E + v \times B)$$

\rightarrow 運動量 p の粒子が強さ B の磁場中で曲げられる
曲率半径 r は

$$r [m] = 0.3 B [\text{Tesla}] P [\text{GeV}/c] \quad (\text{未定})$$

$$\text{LHC } B = 8.4 \text{ Tesla} \quad (1 \text{ Tesla} = 10^4 \text{ Gauss})$$

$$P [m] = \frac{P [\text{GeV}/c]}{0.3 B [\text{Tesla}]} = \frac{7000}{0.3 \times 8.4} \approx 2778 [m]$$

$\rightarrow 17.5 \text{ km}$ 周長の加速器 実際にはリンクは 26.7 km

- Tevatron $\bar{p}p$, LHC pp colliders

Accelerator	E_p	E_{CM}	$1-\beta$	bunch crossing	luminosity ($\text{cm}^{-2}\text{s}^{-1}$)
RUN-I (1992-1995)	900 GeV	1.8 TeV	6×10^{-7}	$3.5\mu\text{s}$ (50kHz)	1.6×10^{31}
RUN-II (2001-2007)	1 TeV	2 TeV	5×10^{-7}	396ns/132ns	2×10^{32}
LHC (2006-?)	7 TeV	14 TeV	1×10^{-8}	25ns (40MHz)	$10^{33} - 10^{34}$

Luminosity: Tevatron RUN-I 0.1 fb^{-1}

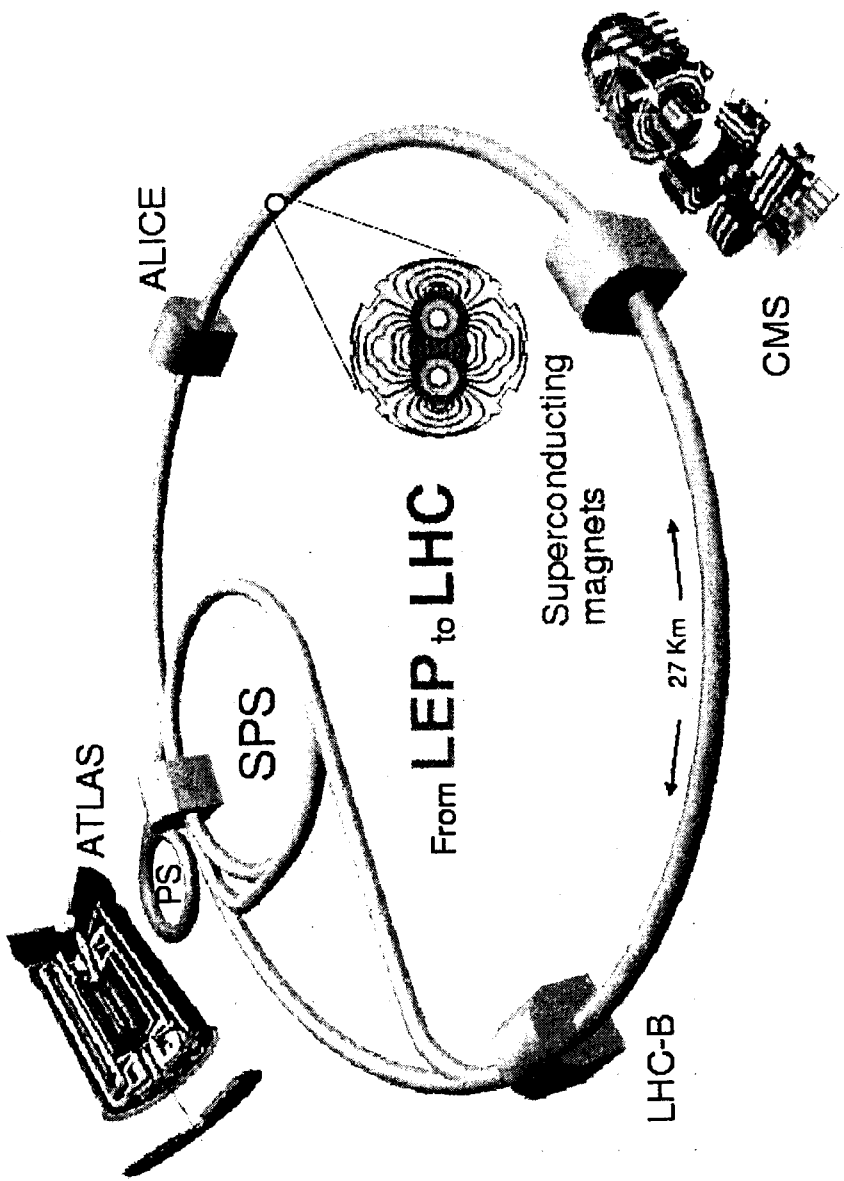
RUN-II 2 fb^{-1} (FNAL officially states 15 fb^{-1} as goal)

LHC Low lumi(10^{33}) $10 \text{ fb}^{-1}/\text{year}$

High lumi(10^{34}) $100 \text{ fb}^{-1}/\text{year}$

[1 barn (b) = 10^{-24} cm^2 , 1 fb = 10^{-15} b , 1 year $\equiv \pi \times 10^7 \text{ sec}$]

The Large Hadron Collider (LHC)

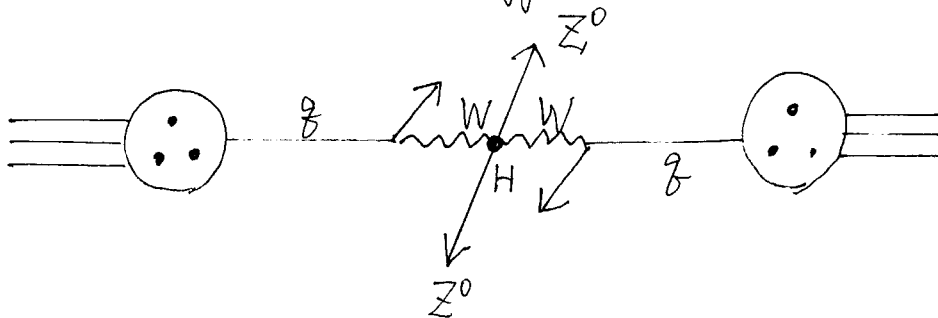


	Beams	Energy	Luminosity
LEP	e^+ e^-	200 GeV	$10^{32} \text{ cm}^{-2}\text{s}^{-1}$
LHC	p p	14 TeV	10^{34}
	Pb Pb	1312 TeV	10^{27}

← ALICE, CMS, ATLAS

14. LHCはなぜ14 TeVか?

pp 衝突型加速器での Higgs 粒子



$$M_{\text{Higgs}} = 1 \text{ TeV} \quad (\text{ユニタリティー条件})$$

$$\hookrightarrow M_W \geq 500 \text{ GeV}$$

$$E_{\text{quark}} \geq 1 \text{ TeV}$$

$$E_{\text{proton}} \geq 6 \text{ TeV}$$

従って、1 TeV での EWSB をテストするには、 $E_{\text{proton}} \geq 7 \text{ TeV}$ 必要。

単位の話。

自然単位系 $\hbar = c = 1$.

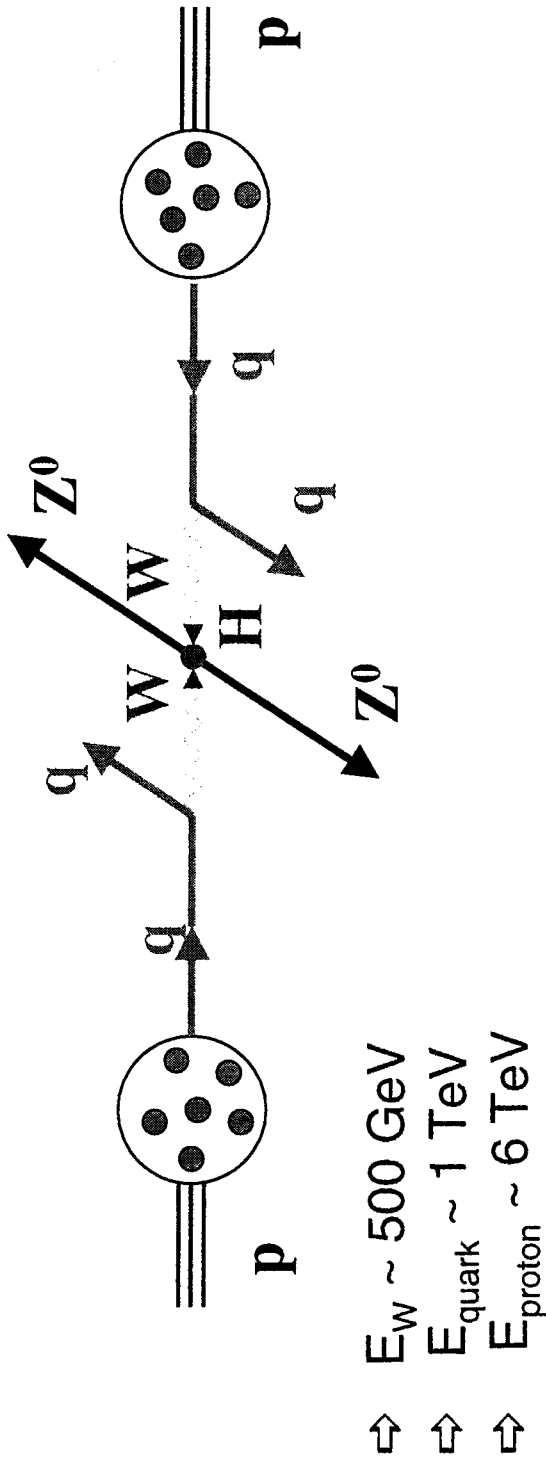
$$\boxed{\hbar c = 197 \text{ MeV} \cdot \text{fm}}$$

$$\hbar = h/2\pi$$

ν -oscillation の確率を
計算せよ。
1.27 ← 次元解析

Energy and Luminosity

Hadron colliders are broad-band exploratory machines
May need to study W_L - W_L scattering at a cm energy of ~ 1 TeV



⇒ pp collisions at 7 + 7 TeV

$$\text{Event Rate} = L \cdot \sigma \cdot \text{BR}$$

e.g. $H(1 \text{ TeV}) \rightarrow ZZ \rightarrow 2e+2\mu$ or $4e$ or 4μ

For $L \sim 10^{34}$, $\text{Evts/yr} = 10^{34} 10^{-3} \cdot 10^7 \sim 10 / \text{yr} !!$

1.5 ルミノシティ $\mathcal{L} [\text{cm}^2 \cdot \text{s}^{-1}]$

$$\frac{dN}{dt} = \mathcal{L} \cdot \Delta t$$

ビームガスガウス型の分布をしているとすると、

$$\mathcal{L} = \frac{f N_b^2}{4\pi \sigma_x \sigma_y}$$

$\left\{ \begin{array}{l} N_b : バンチの中の陽子数 \\ f : 1秒間にバンチが衝突する頻度 (revolution frequency) \\ \sigma_x, \sigma_y : ビームの拡がり。 \end{array} \right.$

\uparrow エミッタス (位相空間のビーム面積) と IPでのビーム光学
LHC 加速器の設計パラメータ

$$E_b = 7 \text{ TeV}$$

$$\text{dipole field } B = 8.34 \text{ [Tesla]}$$

$$\text{周長 } 26.7 \text{ [km]}$$

$$\text{陽子/バンチ } N_b = 1.05 \times 10^{14}$$

$$\text{ビームサイズ } \sigma_{xy} = 15.9 \text{ [\mu m]} \quad 16 \mu\text{m}$$

$$\text{Revolution freq. } 40 \text{ MHz } [25 \text{ ns}]$$

$$\mathcal{L} = \frac{40 \times 10^6 \times (1.05 \times 10^{14})^2}{4\pi (15.9 \mu\text{m})^2} \simeq 1.4 \times 10^{34} \text{ [cm}^{-2} \cdot \text{s}^{-1}\text{]}$$

(証明)

正規分布

$$f(x) = \frac{1}{\sqrt{2\pi}\sigma} e^{-\frac{(x-\mu)^2}{2\sigma^2}}$$

F.W.H.M. との関係

$$F.W.H.M. = \sqrt{8 \ln 2} \cdot \sigma$$

LHC

Low Luminosity $10^{33} \text{ [cm}^{-2} \cdot \text{s}^{-1}\text{]} \rightarrow 10 \text{ fb}^{-1}/\text{year}$

High Luminosity $10^{34} \text{ [cm}^{-2} \cdot \text{s}^{-1}\text{]} \rightarrow 100 \text{ fb}^{-1}/\text{year}$
(Design)

(1年 = $\pi \times 10^7 \text{ sec}$)

実際には、どう測定するか? cf. $e^+e^- \rightarrow e^+e^-$ (Bhabha scattering)

1) $p\bar{p} \rightarrow p\bar{p}$

2) 加速器のパラメーターによる計算

3) 物理プロセス $gg \rightarrow W/Z \text{ boson}$ etc.

LHC Layout and Parameters

$$L = \frac{\gamma f k_b N_p^2}{4\pi\epsilon_n\beta^*} F$$

f revolution frequency
 k_b no. of bunches
 N_p no. of protons/bunch
 ϵ_n norm transverse emittance
 β^* betatron function
 F reduction factor xing angle

Energy at collision	E	7	TeV
Dipole field at 7 TeV	B	8.33	T
Luminosity	L	10^{34}	$\text{cm}^{-2}\text{s}^{-1}$
Beam beam parameter	ξ	3.6	10^{-3}
DC beam current	I_{beam}	0.56	A
Bunch separation		24.95	ns
No. of bunches	K_b	2835	
No. particles per bunch	N_p	1.1	10^{11}
Normalized transverse emittance (r.m.s.)	ϵ_n	3.75	μm
Collisions			
β^* -value at IP	β^*	0.5	m
r.m.s. beam radius at IP	σ^*	16	μm
Total crossing angle	ϕ	300	μrad
Luminosity lifetime	τ_L	10	h
Number of evts/crossing	n_c	17	
Energy loss per turn		7	keV
Total radiated power/beam		3.8	kW
Stored energy per beam		350	MJ

Magnetic Field

$p(\text{TeV}) = 0.3 B(T) R(\text{km})$
 For $p=7 \text{ TeV}$, $R=4.3 \text{ km}$
 $\Rightarrow \boxed{B = 8.4 \text{ T}}$

$$\text{Beam-beam tune shift } \xi = \frac{N r_p}{4\pi\epsilon_n}$$

Table 2. Example parameters for pp or pp> colliders: Spp>S, Tevatron run IIa ('TeV2a'),⁹ and LHC. [†] The bunches are split in 3 trains, separated by 2.62 μ s; [‡] The total LHC dipole heat load is about 0.8 W/m including the electron cloud. *Equilibrium determined by radiation damping and intrabeam scattering. Arrows refer to dynamic changes during the store.

accelerator	Sp <bar>p>S</bar>	TeV2a	LHC
beam energy E [TeV]	0.32	0.98	7
dipole field B [T]	1.4	4.34	8.39
total energy/beam [MJ]	0.05	1	334
circumference C [km]	6.9	6.28	26.7
number of bunches n_b	6	36	2800
bunch population N_b [10^{11}]	1.7 (p) 0.8 (<bar>p>)</bar>	2.7 (p) \sim 1.0 (<bar>p>)</bar>	1.05
no. of IPs	3	2	2 (4)
rms IP beam size $\sigma_{x,y}^*$ [μm]	80, 40	32	15.9
rms IP div. $\sigma_{x',y'}^*$ [μrad]	136, 272	91	31.7
IP beta $\beta_{x,y}^*$ [m]	0.6, 0.15	0.35	0.5
beam-beam tune shift / IP $\xi_{x,y}$	0.005	0.01	0.0034
crossing angle θ_c [μrad]	0	0	300
rms bunch length σ_z [cm]	30	37	7.7
bunch spacing L_{sep} [m]	1150	119 [†]	7.48
SR power P_{SR} [kW]		$< 10^{-3}$	3.6
dipole heat load dP/ds [W/m]		$\ll 10^{-3}$	0.2 [‡]
betatron tune Q_β	26	\sim 20	63
rms transv. emittance $\gamma\epsilon_{x,y}$ [μm]	3.75	\sim 3	3.75
eq. horiz. emittance $\gamma\epsilon_x^{eq}$ [μm]		$\sim 10^*$	2.03*
longit. emittance ϵ_L (σ) [eVs]	0.11	0.11	0.2
damp. time $\tau_{x,\text{SR}}$ [hr]		1200	52
IBS growth time $\tau_{x,\text{IBS}}$ [hr]	10	50(?)	142
damping decrement per IP [10^{-10}]		0.025	2.5
events per crossing		\sim 6	18
peak luminosity L [$10^{34} \text{ cm}^{-2}\text{s}^{-1}$]	0.0006	\sim 0.02	1.00
lum. lifetime τ [hr]	9	9	10

1.6. ハドロンコライダーでの運動学

- ビーム軸方向の運動量は、イベントごとに分かれない。
- 横方向の運動量は保存。総和が \emptyset 。

transverse momentum $P_T = |\mathbf{P}| \cdot \sin\theta$

transverse energy $E_T = E \cdot \sin\theta$

pseudo-rapidity $\eta = -\ln(\tan\frac{\theta}{2})$

missing transverse energy $E_T^{\text{miss}} = E_{\nu}$

$\Delta R = \sqrt{(\Delta\eta)^2 + (\Delta\phi)^2}$

pseudo-rapidity と azimuthal angle で見た‘距離’。
Jet Cone アルゴリズムで使われる。

ラピッドティティ (*Rapidity*) y
Longitudinal Rapidity

$$y \equiv \frac{1}{2} \ln\left(\frac{E + P_z}{E - P_z}\right) = \ln\left(\frac{E + P_z}{m_T}\right) = \tanh^{-1}\left(\frac{P_z}{E}\right)$$

↑ Lorentz 変換 (Z 軸方向, 速度 β) に対して。

$y \rightarrow y + \tanh^{-1}\beta$
が成り立つ。したがって dN/dy は Lorentz 不変。

証明. $y \rightarrow y' = \frac{1}{2} \ln\left(\frac{E + P'_z}{E - P'_z}\right)$

$$\gamma = \cosh\Delta$$

$$\beta = \tanh\Delta$$

$$= \frac{1}{2} \ln\left(\frac{(\gamma E - \beta\gamma P_z) + (\gamma P_z - \beta\gamma E)}{(\gamma E - \beta\gamma P_z) - (\gamma P_z - \beta\gamma E)}\right)$$

$$= \frac{1}{2} \ln \frac{(E + P_z)(1 + \beta)}{(E - P_z)(1 - \beta)}$$

$$= y + \frac{1}{2} \ln \frac{1 + \beta}{1 - \beta} \equiv y + \tanh^{-1}(\beta)$$

Lorentz 変換

$$\begin{pmatrix} E' \\ P'_z \end{pmatrix} = \begin{pmatrix} \gamma & -\gamma\beta \\ -\gamma\beta & \gamma \end{pmatrix} \begin{pmatrix} E \\ P_z \end{pmatrix}, \quad P'_T = P_T, \quad \begin{pmatrix} \beta = \frac{P_z}{E} \\ \gamma = \frac{1}{\sqrt{1 - \beta^2}} \end{pmatrix}$$

rapidity γ は、粒子の縦方向と横方向を記述するのに便利。

・粒子の質量に関する式 $\frac{dP_z}{E} = dy$ が成立。

・粒子が取りうる最大の rapidity は、重心系で $\sqrt{s}/2$ だ。

$$\gamma_{\max}^{\text{CM}} = \ln \frac{\sqrt{s}}{m}$$

Feynman の x 变数

$$x = \frac{P_z}{P_{z\max}} \simeq \frac{E + P_z}{(E + P_z)_{\max}} \quad (P_T \ll |P_z|)$$

重心系で

$$x \simeq \frac{2P_{z\text{CM}}}{\sqrt{s}} = \frac{2m_T \sinh \gamma_{\text{CM}}}{\sqrt{s}}$$

$$= \gamma_{\max}^{\text{CM}}$$

・質量を無視 ($P \gg m$) したとき、

$$\eta \equiv \frac{1}{2} \ln \frac{E + E \cos \theta}{E - E \cos \theta} = \frac{1}{2} \ln \left(\frac{1}{\tan^2 \frac{\theta}{2}} \right) = -\ln \tan \left(\frac{\theta}{2} \right)$$

└ pseudo rapidity

コライダー実験では、 $\frac{dN}{d\eta}$ は、 $\eta = [-3, +3]$ で平坦。

→ カロリX-チャーチのデザインで $\Delta\eta = \text{一定}$ にすれば良い。

(グラニュラリティ)

Higgs 夏の学校 宿題 1

二つの粒子(またはジェット)の不変質量が

$$M_{ij} = \sqrt{2E_T^i E_T^j [\cosh(\Delta\eta) - \cos(\Delta\phi)]}$$

で計算できることを示せ。(出典: CDF Higgs paper, Phys.Rev.Lett.81(1998)5748)

(証明)

擬ラピディティー (pseudorapidity)

$$\eta \equiv -\ln \tan \frac{\theta}{2}$$

は、ラピディティー

$$y = \frac{1}{2} \ln \left(\frac{E + p_z}{E - p_z} \right)$$

において質量を無視した近似である。

アイデンティティー

$$\sinh\eta = \cot\theta, \cosh\eta = 1/\sin\theta, \tanh\eta = \cos\theta$$

を使うと、4元ベクトルは、

$$(E, p_x, p_y, p_z) = (E_T \cosh\eta, p_x, p_y, E_T \sinh\eta)$$

と書ける。

従って、二つの粒子(またはジェット)の不変質量は、

$$\begin{aligned} M_{ij}^2 &= (p_i + p_j)^2 \simeq 2p_i p_j = 2(E_i E_j - \mathbf{p}_i \cdot \mathbf{p}_j) \\ &= 2 \left(E_T^i \cosh\eta_i \cdot E_T^j \cosh\eta_j - p_x^i p_x^j - p_y^i p_y^j - E_T^i \sinh\eta_i \cdot E_T^j \sinh\eta_j \right) \\ &= 2E_T^i E_T^j \left[\cosh\eta_i \cdot \cosh\eta_j - \frac{p_x^i p_x^j + p_y^i p_y^j}{E_T^i E_T^j} - \sinh\eta_i \cdot \sinh\eta_j \right] \end{aligned}$$

ここで $\cosh\eta = (e^\eta + e^{-\eta})/2, \sinh\eta = (e^\eta - e^{-\eta})/2$ より、

$$\cosh\eta_i \cdot \cosh\eta_j - \sinh\eta_i \cdot \sinh\eta_j = \cosh(\eta_i - \eta_j)$$

また、

$$\begin{aligned} \frac{p_x^i p_x^j + p_y^i p_y^j}{E_T^i E_T^j} &= \cos\phi_i \cos\phi_j + \sin\phi_i \sin\phi_j \\ &= \cos(\phi_i - \phi_j) \end{aligned}$$

以上より、

$$M_{ij} = \sqrt{2E_T^i E_T^j [\cosh(\eta_i - \eta_j) - \cos(\phi_i - \phi_j)]}$$

(証明終)。

Kinematicsについては、Particle Data Bookを参照。

http://pdg.lbl.gov/2000/contents_sports.html#kinemaetc

Higgs 夏の学校 宿題 2

ラピディティー (rapidity) は、ローレンツ変換に対して不变な量である。ハドロン・コライダーにおいて生成粒子の（擬）ラピディティー分布 dN/dy が中央検出器部分においては、ほぼフラットとなることを示せ。

トレビアーン解答：陣内 修

PYTHIA(version 6.136) で生成した QCD イベントのラピディティー分布と擬ラピディティー分布を図 1 (パイ中間子) と図 2 (K 中間子) に示す。ラピディティー分布は $\theta = 90^\circ$ でピークとなるが、擬ラピディティー分布は粒子の質量の効果で $\eta = \pm 2$ あたりでピークとなる。

ここで、擬ラピディティー (pseudorapidity)

$$\eta \equiv -\ln \tan \frac{\theta}{2}$$

は、ラピディティー (rapidity)

$$y = \frac{1}{2} \ln \left(\frac{E + p_z}{E - p_z} \right)$$

において質量を無視した近似である。

いずれにせよ ATLAS の粒子飛跡検出器 ($|\eta| < 2.5$) やカロリメーター ($|\eta| < 4.9$) のアクセプタンスを考えると、中央にある検出器においては単位ラピディティー当りの粒子数 dN/dy はほぼ一定となり、これらの検出器のグラニュラリティーを決定する要因となっている。

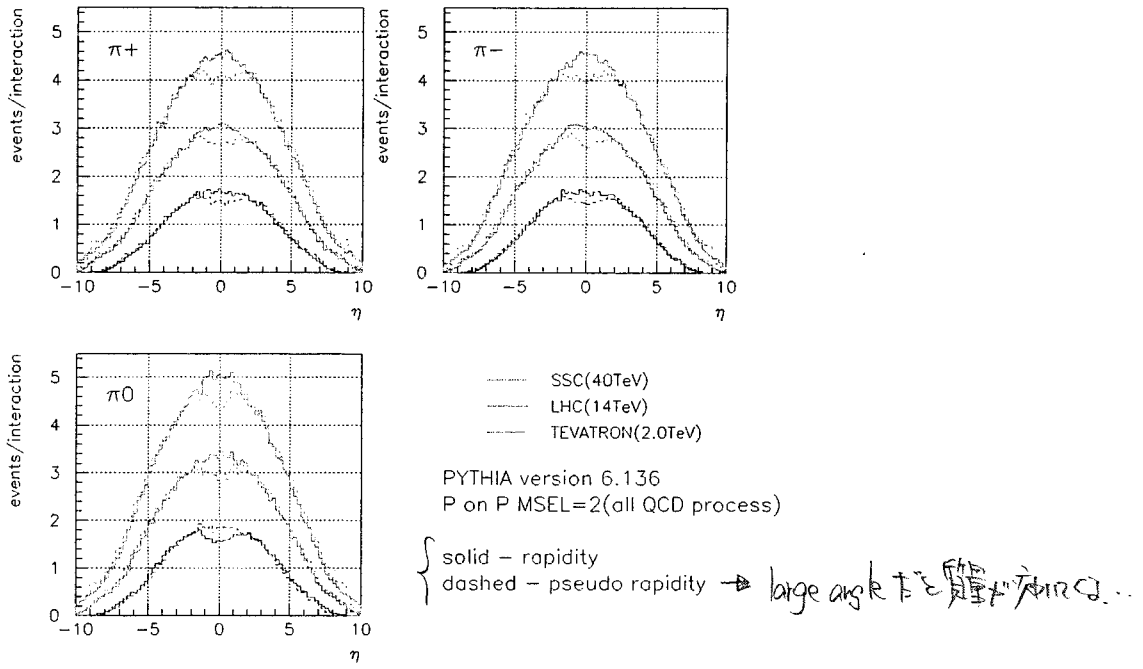


図 1: QCD プロセスにおけるパイ中間子のラピディティ (実線) および擬ラピディティ (破線) 分布。SSC、LHC と TEVATRON について 1 イベントあたりの粒子数を示してある。

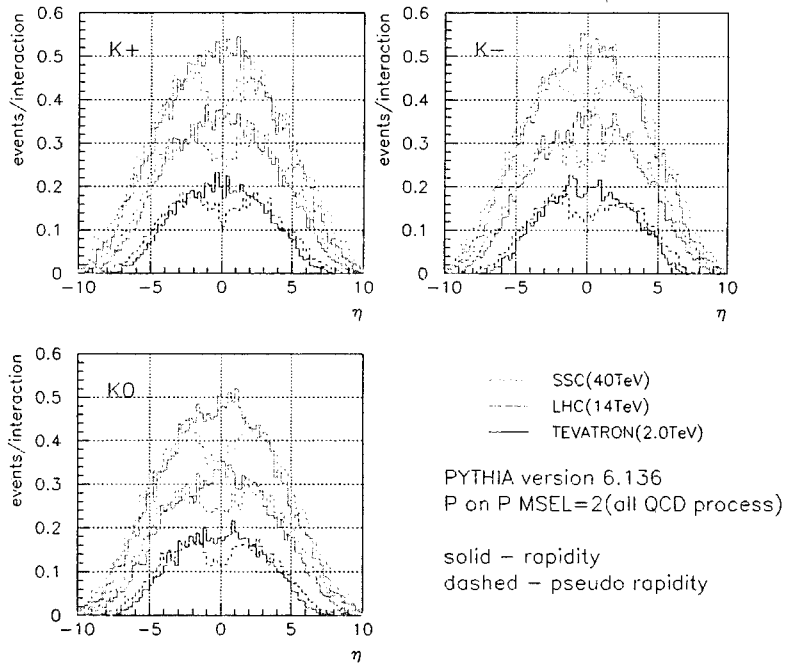


図 2: 同じく K 中間子のラピディティ (実線) および擬ラピディティ (破線) 分布。

$dN/d\eta$ distribution

- rapidity

$$y = \frac{1}{2} \ln \left(\frac{E + p_z}{E - p_z} \right)$$

- pseudo-rapidity
- $\eta = -\ln \tan(\theta/2)$

$$\theta = 90^\circ \Rightarrow \eta = 0$$

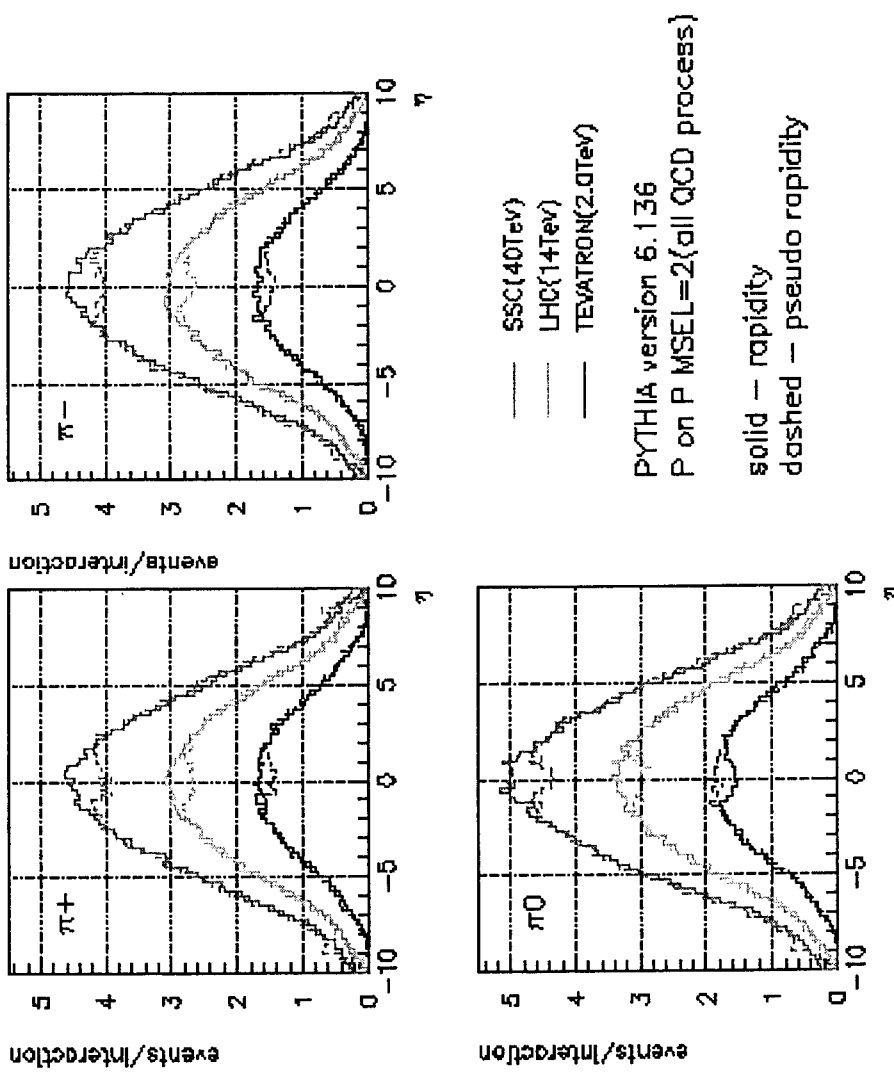
$$\theta = 40^\circ \Rightarrow \eta = 1$$

$$\theta = 5.7^\circ \Rightarrow \eta = 3$$

cf. ATLAS detector

tracker $|\eta| < 2.5$

calorimeter $|\eta| < 4.9$



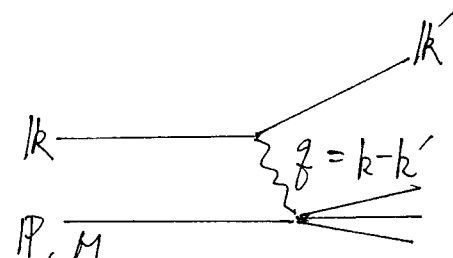
1.7 パーティクル分布関数 (Parton Distribution Function) PDF

陽子 (uud) , 中性子 (udd)



valence quark たんてきくせい。
 (u,d)
 sea quark, gluons
 $(\bar{u}, \bar{d}, s\bar{s}, c\bar{c})$

Deep inelastic scattering.



Invariant 量.

$$\left\{ \begin{array}{l} V = \frac{\vec{q} \cdot \vec{P}}{M} = E - E' \\ Q^2 = -\vec{q}^2 = 2(EE' - \vec{k} \cdot \vec{k}') - m_e^2 - m_{e'}^2 \\ X = \frac{Q^2}{2MV} = \frac{m}{M} \end{array} \right.$$

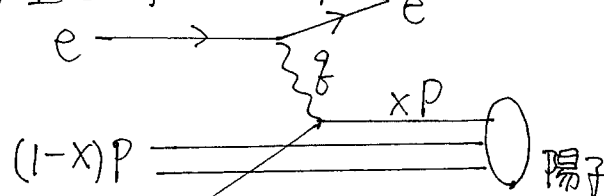
lepton-nucleon 散乱.

$\leftarrow F(x, Q^2) \approx \text{一定. scaling則.}$

断面積が“ほとんど” Q^2 に无关。 SLAC e-p 散乱実験
 \rightarrow pointlike な粒子, ‘parton’

陽子が“非常に大きい運動量を持つ”とすると、
 Bjorken 变数

$$X = \frac{Q^2}{2MV} = \frac{m}{M}$$

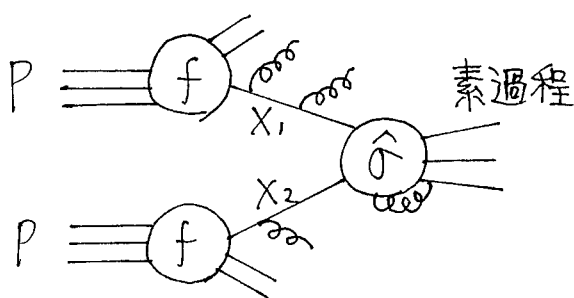


m : 自由なパートンの質量。

パートン描像.

パートン - '波動関数' が必要 (elementary でない)

構造関数 (Structure Functions)
パートン分布関数 (PDF's)



← 深弾性散乱からの類推.
Drell-Yan $g\bar{g} \rightarrow l^+l^-$

(asymptotic 'scaling limit' で有効
 $\rho(M^2, s \rightarrow \infty, x_1, x_2 = M^2/s)$ fix
cf. Bjorken limit $Q^2, \nu \rightarrow \infty, x = \frac{Q^2}{2\nu}$ fix.)

$$\sigma = \int dx_1 dx_2 f(x_1) f(x_2) \hat{\sigma} (\hat{s} = s x_1 x_2)$$

$1/s \propto L$

重要なプロセスの断面積 $\lesssim \frac{1}{s}$

partial wave unitarity

つまり少數の角運動量状態で起こる。

ex. S-ch の ρ 交換 $\rightarrow J=1$

$$e^+ e^- \rightarrow \mu^+ \mu^- \quad \sigma = \frac{4\pi \alpha^2}{3s}$$

$N = \sigma \cdot L$ なので: \hat{s} 2倍大きいと, L も 2倍必要。

↑
ハドロン・コライダーでは違う!

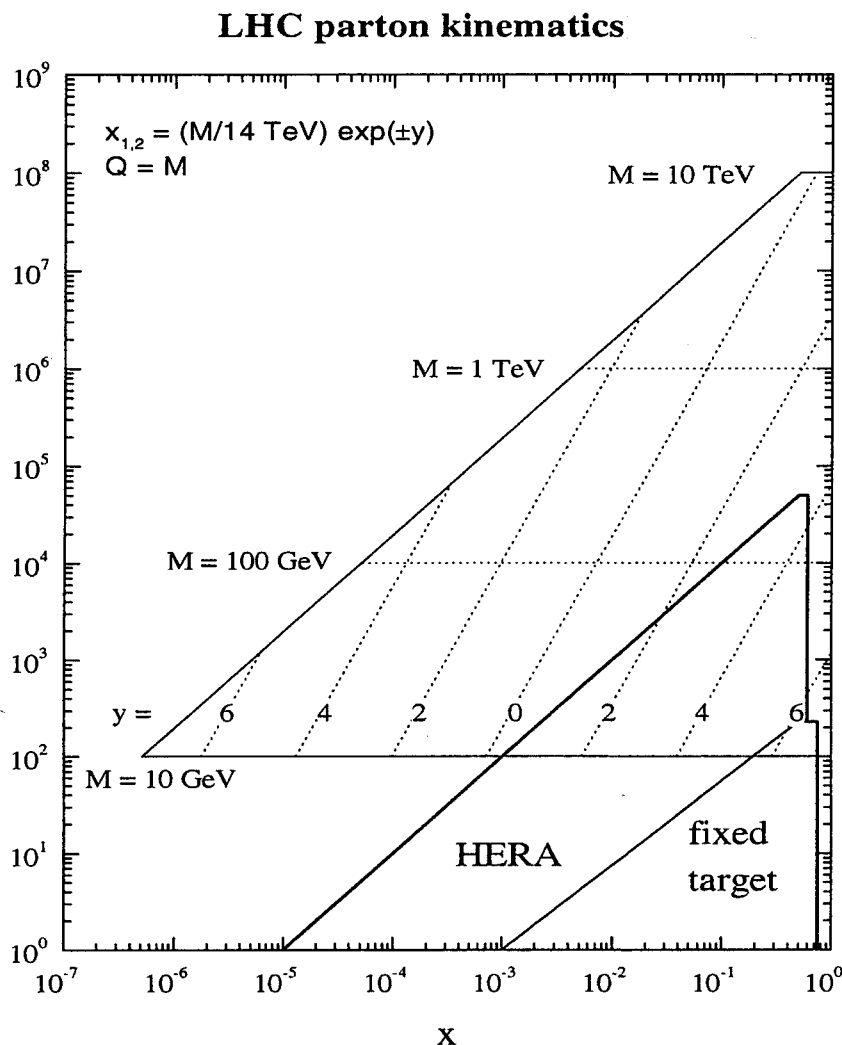
構造関数が x が小さい所では, 急激に大きくなる。

$$x_1 x_2 = \frac{m^2}{s} \quad (\text{gluon の寄与})$$

LHCでは, SSCよりも大きい luminosity が必要。

14 TeV	40 TeV
$10^{34} \text{ cm}^{-2} \text{ s}^{-1}$	$10^{33} \text{ cm}^{-2} \text{ s}^{-1}$

LHC parton kinematics

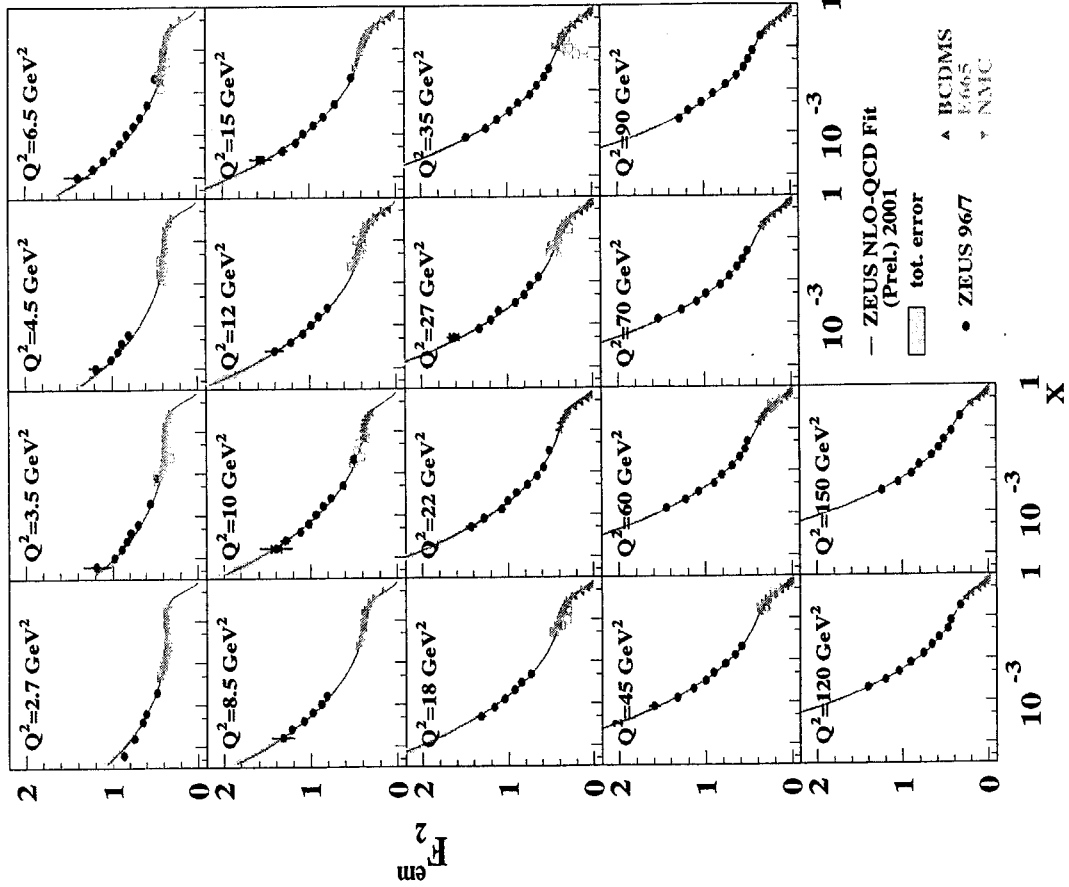
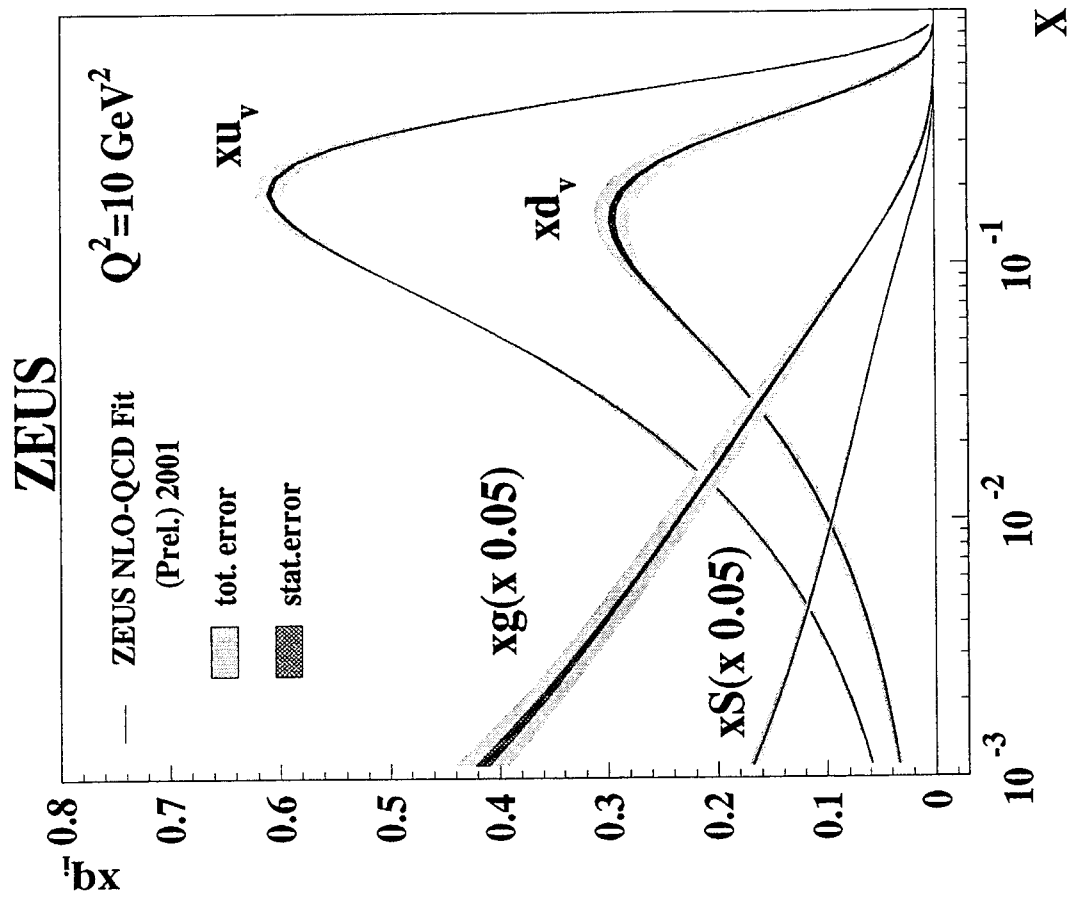


$$x_1 \cdot x_2 = \frac{M^2}{S}$$

$$x_{1,2} = \frac{M}{14} \cdot e^{\pm y}$$

1. $M : 100 \text{ GeV} \sim 1 \text{ TeV}$ at $|y| < 2.5$
 $\Rightarrow Q^2 : 10^4 \sim 10^6 \text{ GeV}^2$
 $x : 10^{-4} \sim 10^{-1}$
2. high $M \gtrsim 1 \text{ TeV}$ or large $|y| \gtrsim 3$
 \Rightarrow large $x \gtrsim 10^{-1}$
3. small $x \lesssim 10^{-5}$: (very forward, maybe difficult)
 - $\ln(1/x)$ resummation (BFKL,CCFM) ?
 - saturation?

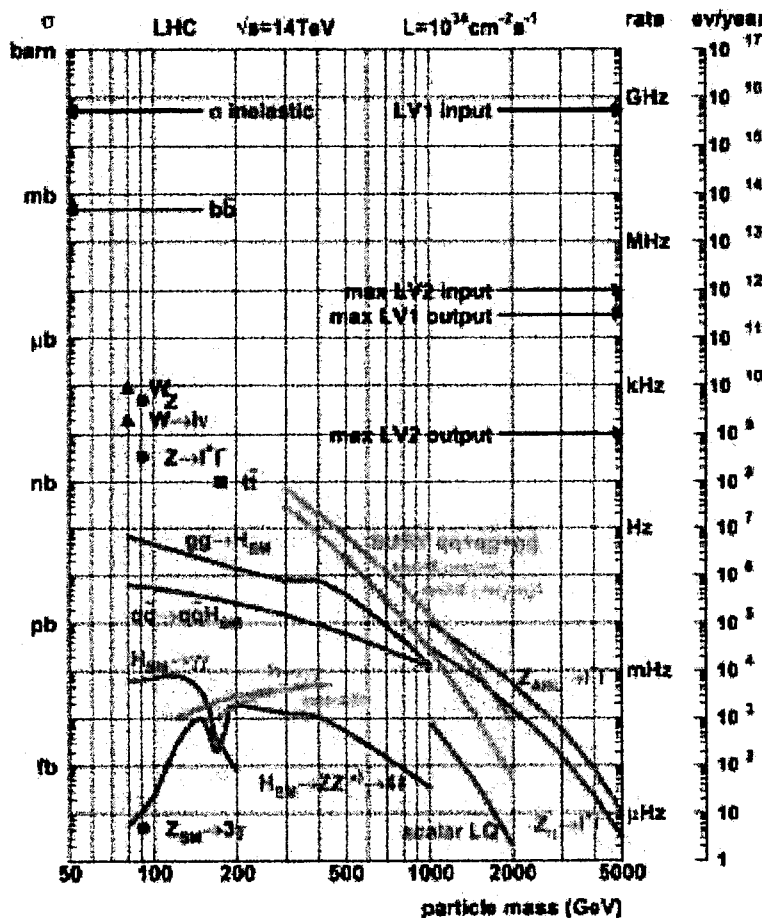
PDFs: status



- NLO-QCD gives good description ($\chi^2 \sim 1$)

Kinematics [1]: $10^{-4} \lesssim x \lesssim 10^{-1}$

Cross sections at LHC



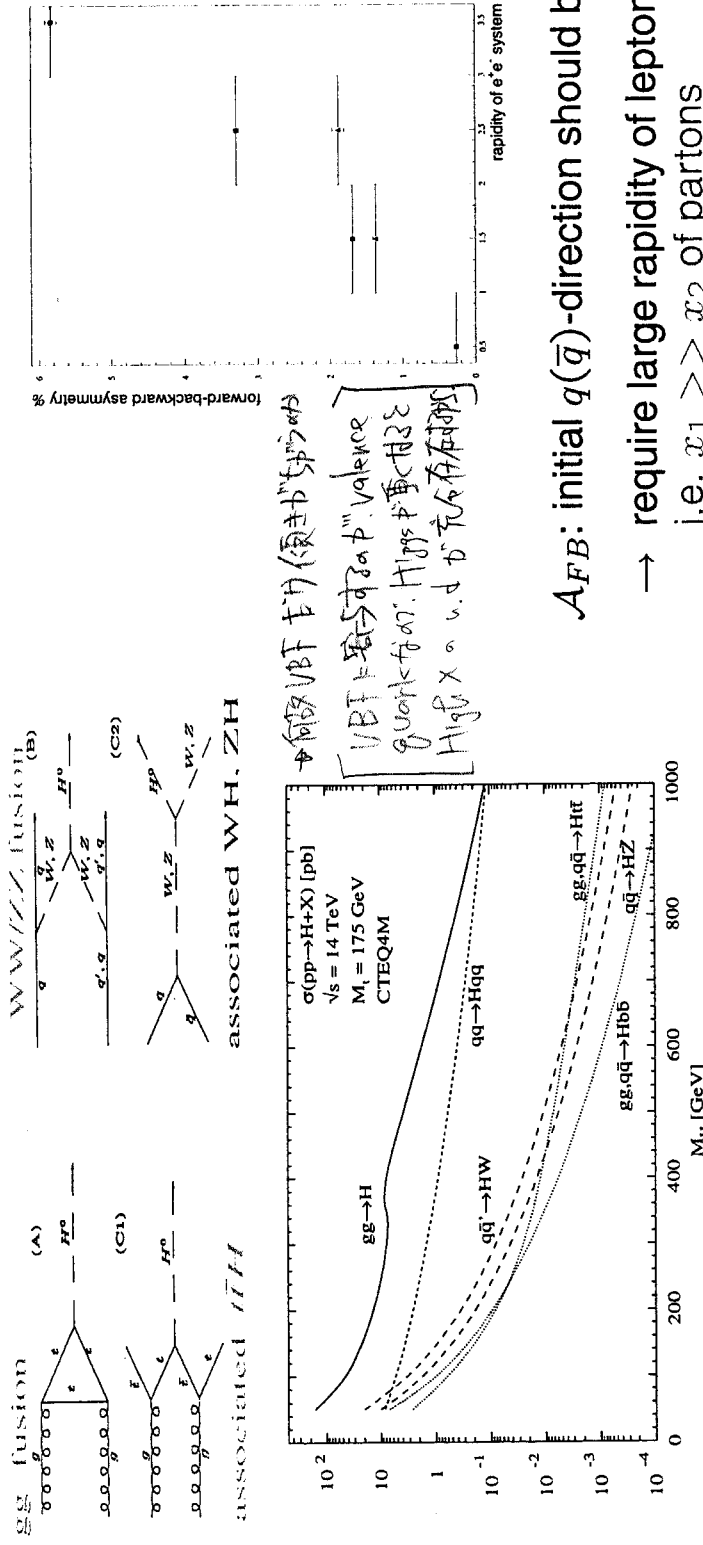
- Precision physics with SM gauge-bosons and top-quark
Scale: $Q^2 \sim 10^4(M_Z^2, M_W^2, M_t^2)$
 - $\sigma(W, Z)$ is a candidate of \mathcal{L} monitor: \Leftarrow sea quarks
 - “ t -factory”($gg \rightarrow t\bar{t}$): \Leftarrow gluon
 $\Rightarrow \Delta m_t \sim 1\%$ possible.
- SM Higgs search
 - $gg \rightarrow H$ dominates: \Leftarrow gluon

\Rightarrow gluon and sea at large Q^2 : $10^4 \sim 10^6$ GeV 2 are needed.

Heavy SM Higgs

Kinematics [2]: large $x \gtrsim 10^{-1}$

Drell-Yan prod. of l^+l^- : $\mathcal{A}_{FB}(M_Z^2)$



WW/ZZ fusion important for large M_H

- σ becomes large thanks to:
 - valence quarks > gluons at large- x : \Rightarrow difference in “slopes” between of $\sigma(gg \rightarrow H)$ and $\sigma(q\bar{q} \rightarrow Hq\bar{q})$.
 - experimental advantage: large p_T ($\sim M_W/2$) forward jets due to recoiled quarks ...if PDFs at high- x are well constrained.
- A_{FB} signed according to sign of $y(l^+l^-)$
 - initial $q(\bar{q})$ -direction should be known.
 - require large rapidity of lepton pair $y(l^+l^-)$, i.e. $x_1 \gg x_2$ of partons
 - larger x parton should be quark
 - A_{FB} signed according to sign of $y(l^+l^-)$

1.8 pp 散乱の断面積と Minimum Bias

14TeVでの pp 散乱断面積 (非弾性, 回折的がない)
inelastic, non-diffractive.

$$\Gamma \simeq 70 \text{ mb}$$

$\rightarrow 23 \text{ pile-up/beam crossing } @ 10^{34} \text{ cm}^{-2} \text{ s}^{-1}$

ちなみに, Tevatron (2TeV) では.

$\leq 6 \text{ pile-up/beam crossing. (Poisson 分布)}$

Physics プロセス. $@ L = 10^{34} \text{ cm}^{-2} \text{ s}^{-1}$

非弾性散乱 10^9 Hz

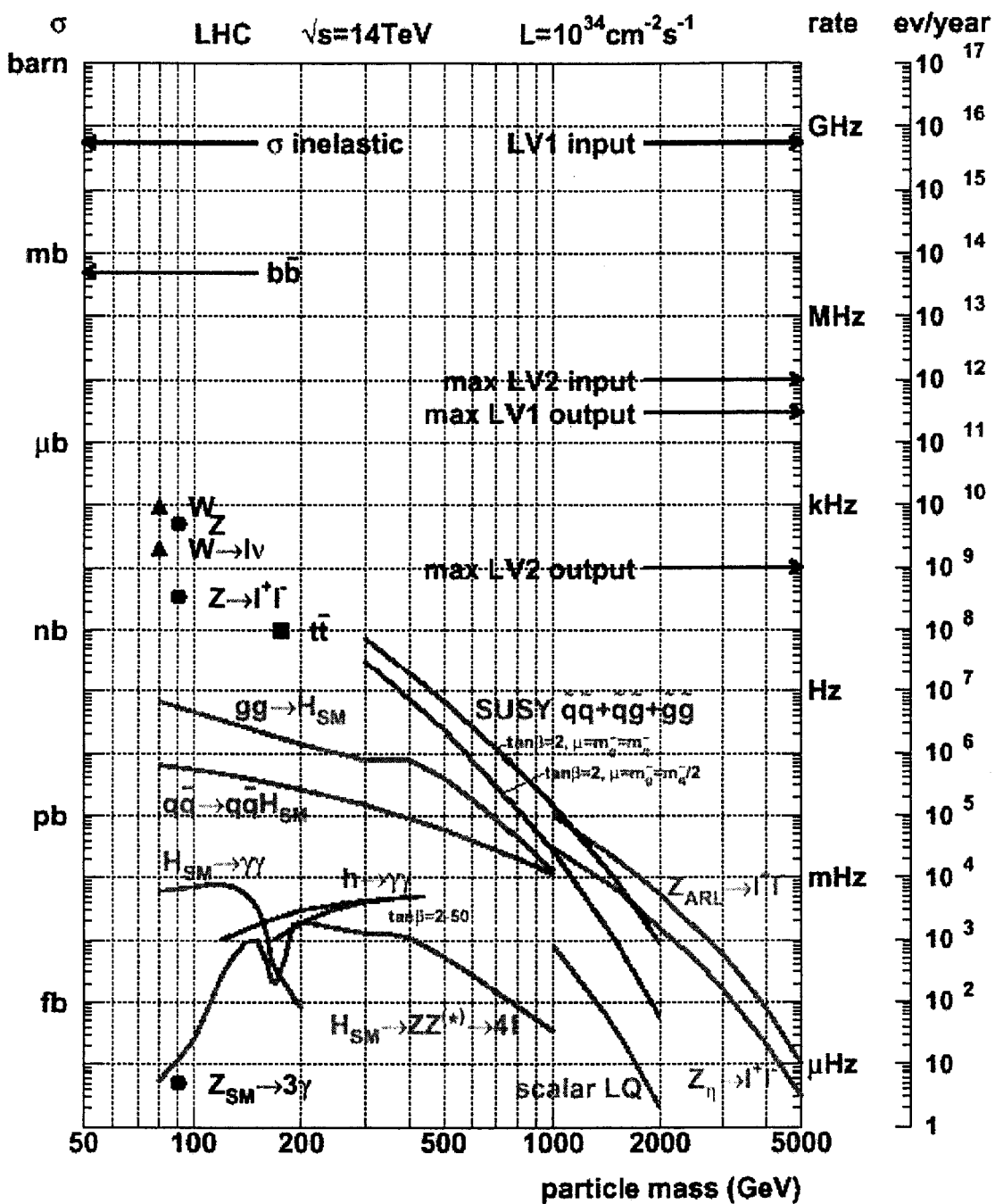
Wボソン $\sim 2 \text{ kHz}$

$\tau\bar{\tau}$ 10 Hz

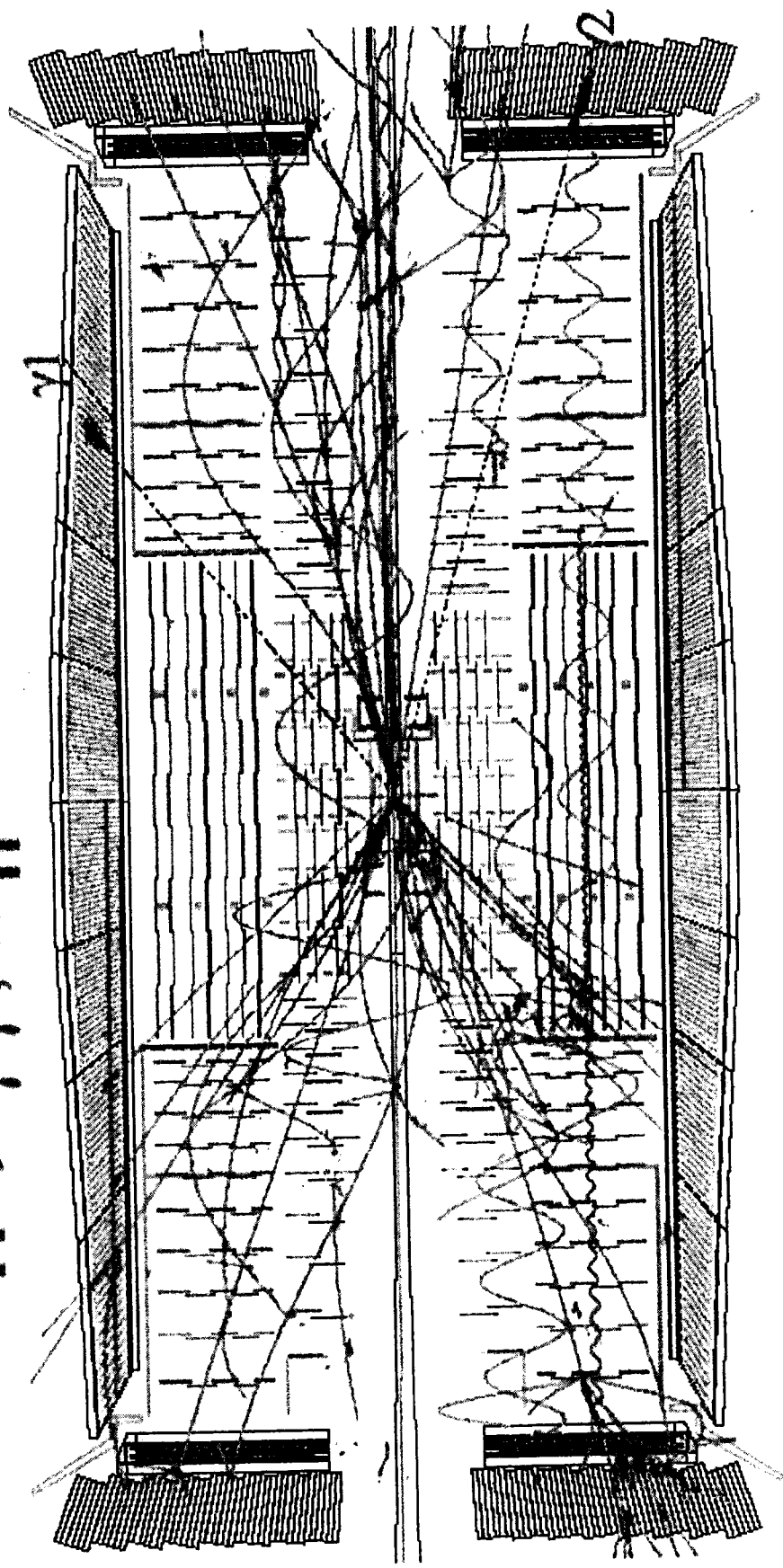
ヒッグス $0.1(0.01) \text{ Hz} \quad M_{\text{Higgs}} = 100(500) \text{ GeV}$

$$S:N \stackrel{\downarrow}{=} 1 : 10^{10-11} ?$$

⇒ 検出器にとってチャレンジング。



$H \rightarrow \gamma\gamma, M_H = 100 \text{ GeV}$



2. 標準模型

$$SU(3)_c \otimes SU(2)_L \otimes U(1)_Y$$

2.1 基本相互作用

対称性/不变性	強相互作用	電磁相互作用	弱相互作用	重力
場の量子	グルーオン	光子	W^\pm, Z	グレビティ
スピン/parity	1-	1-	1^*	2^+
質量 [GeV/c]	0	0	$80.3, 91.2$	0
到達範囲	$< 10^{-15} \text{ cm}$	∞	$< 10^{-18} \text{ cm}$	∞
相互作用の元	カラーネット	電荷	weak電荷	質量
無次元結合定数	α_s	$\alpha = e^2/4\pi$	$(M_p)^2 G_F$	$K M_p^2$
大きさ	$1 \sim 0.1$	$1/137.036$	1.02×10^{-5}	0.53×10^{-3}

* Parity 破壊なし

$$\star \alpha_s(\mu^2) \simeq 0.118.$$

2.2 対称性と保存則

対称性 - 変換に対する物理法則の不变性

ネーテーの定理

「対称性が存在すると、それに伴う保存則が存在する」

対称性	保存量	強い相互作用	電磁相互作用	弱い相互作用
時間の平行移動	エネルギー	○	○	○
空間の平行移動	運動量	○	○	○
空間の回転対称性	角運動量	○	○	○
ゲージ対称性	電荷	○	○	○
空間反転	パリティ(P)	○	○	×
時間反転	Tパリティ	○	○	×
粒子反粒子対称性	Cパリティ	○	○	×
CP対称性	CP	○	○	×
CPT対称性	CPT	○	○	○
?	バリオニ数	○	○	○
?	レプトニ数	○	○	?

素粒子の場

外部量子数 - 質量, スピン, パリティなど 時空の対称性に関する

内部量子数 - 電荷, アイスピニ, カラー, レpton-バリオニ数など

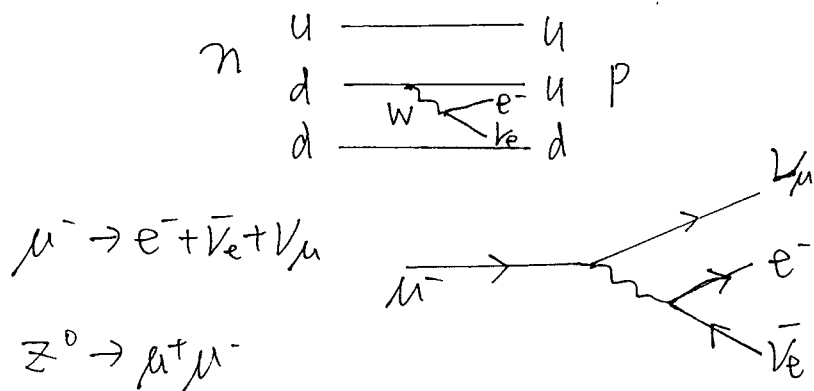
$$\Psi = (\text{space}) \times (\text{spin}) \times (SU(2) \otimes U(1)) \times (SU(3)_c)$$

外部量子数

内部量子数

2.3 弱い相互作用

崩壊反応 $n \rightarrow p + e^- + \bar{\nu}_e$ (β 崩壊)



衝突反応 $\bar{\nu} + n \rightarrow p + e^-$ (逆 β 崩壊)
 $e^+ e^- \rightarrow Z^0$

歴史

- 1896 ベクレルによる放射線発見
- 1930 パウリによるニュートリノ提唱
- 1934 フェルミ理論の提唱
- 1938 ミューオンの発見
- 1953 電子ニュートリノの発見 (ライネス, コーカニ)
- 1956 パリティ非保存 (リーヤン)
- 1957 パリティ非保存の実験による確認 (ウーバー他)
- 1958 V-A理論の確立 (マイマン, ゲルマン)
- 1962 2種類のニュートリノの検証 (レーダーマン他)
- 1964 K崩壊におけるCP非保存 (スイッチ他)
- 1967 Glashow-Weinberg-Salamモデルの提唱
- 1972 ニュートリノ反応における中性カレントの実験的検証. Fig.
- 1975 タウ・レプトニンの発見 (パール)
- 1983 W, Zボソンの発見 (ルビア)
- 1989 $N_\nu = 3$ の確認 (SLC, LEP実験)
- 1998 ニュートリノ振動の検証 (SK実験)

フェルミ β 崩壊の理論

電磁相互作用による $e^- + p \rightarrow e^- + p$ 散乱

2つのカレントの積

$$\mathcal{M} \sim \frac{e^2}{g^2} J_{\text{baryon}} \cdot J_{\text{lepton}}$$

$$J_{\text{lepton}} = \bar{\psi}_l \gamma_\mu \psi_e, \quad J_{\text{baryon}} = \bar{\psi}_p \gamma_\mu \psi_p$$

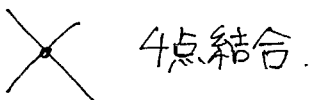
\downarrow
 β -decay 電荷を1単位変えるカレント

$$\mathcal{M} = G J_{\text{baryon}}^{\text{weak}} \cdot J_{\text{lepton}}^{\text{weak}} = G (\bar{\psi}_p \gamma^\mu \psi_p) \cdot (\bar{\psi}_e \gamma^\mu \psi_e)$$

O : 行列演算子 (ベクトル型と仮定された)

フェルミ相互作用

W フローバーゲーター $1/(g^2 M_W^2)$ 附近



G : 結合定数

Lorentz 変換に不变な 演算子の組み合わせ

$\bar{\psi} \psi$	Scalar	S
$\bar{\psi} \gamma_\mu \psi$	Vector	V
$\bar{\psi} \gamma_\mu \gamma_\nu \psi$	Tensor	T
$\bar{\psi} \gamma_5 \gamma_\mu \psi$	Axial-vector	A
$\bar{\psi} \gamma_5 \psi$	Pseudoscalar	P

Parity 保存の破れを入れるために

$$\mathcal{M} = \frac{G}{\sqrt{2}} \sum_{i=V,A} C_i [\bar{\psi}_p \gamma_i \psi_n] [\bar{\psi}_e \gamma_i (1-\gamma_5) \psi_\nu]$$

$$= \frac{G}{\sqrt{2}} [\bar{\psi}_p \gamma_\mu (1-\gamma_5) \psi_n] [\bar{\psi}_e \gamma_\mu (1-\gamma_5) \psi_\nu]$$

$\uparrow \lambda = 1.25 \leftarrow$ 強い相互作用の影響
VA型

2.4 V-A 理論

Feynman, Gell-Mann (1958)

Sudarshan, Marshak (1958)

すべての Weak decay に通用する 現象理論

Effective Lagrangian density

$$\mathcal{L} = -\frac{G_F}{\sqrt{2}} (J_\mu^{\text{weak}})^+ J_\mu^{\text{weak}}$$

$$J_\mu^{\text{weak}} = J_\mu^{\text{lepton}} + J_\mu^{\text{hadron}}$$

$$J_\mu^{\text{lepton}} = \sum_{i=e,\mu,\tau} \bar{\psi}_i \gamma_\mu (1-\gamma_5) \psi_i$$

$$J_\mu^{\text{quark}} = (\bar{\psi}_u, \bar{\psi}_c, \bar{\psi}_t) \gamma_\mu (1-\gamma_5) \begin{pmatrix} \psi_d \\ \psi_s \\ \psi_b \end{pmatrix}$$

d', s', b' : フォークの固有状態である。

弱い相互作用の目で分けた混合状態。

$$\begin{pmatrix} d' \\ s' \\ b' \end{pmatrix} = M_{CKM} \begin{pmatrix} d \\ s \\ b \end{pmatrix} = \begin{bmatrix} 0.975 & 0.212 & \sim 0.003 \\ 0.221 & 0.974 & \sim 0.04 \\ \sim 0.01 & \sim 0.04 & 0.999 \end{bmatrix} \begin{pmatrix} d \\ s \\ b \end{pmatrix}$$

↑
手と足 diagonal.

M_{CKM} : Cabibbo-小林-益川の フォーク混合マトリックス

$\mu^- \rightarrow e^- \bar{\nu}_e \nu_\mu$ の崩壊率

$$d\Gamma = \frac{(2\pi)^4}{2M} |g_M|^2 d\Phi_M (P; p_1, \dots, p_3) \quad (\text{PDG})$$

$d\Phi = d\text{Lips}$ (Lorentz invariant phase space)

$$= \delta^4(P - \sum_{i=1}^3 P_i) \prod_{i=1}^3 \frac{d^3 p_i}{(2\pi)^3 2E_i}$$

$$\mathcal{M} = \frac{G_F}{\sqrt{2}} j_\mu^+ j_\mu^- = \frac{G_F}{\sqrt{2}} [\bar{u}_{\nu_\mu} \gamma_\lambda (1-\gamma_5) u_\mu] [\bar{u}_e \gamma_\lambda (1-\gamma_5) u_{\nu_e}]$$

電子の質量を無視して。 (証明)

$$\Gamma_\mu = \frac{\hbar}{T_\mu} = \frac{G_F^2}{192\pi^3} m_\mu^5$$

$$\hbar = h/2\pi = 6.582 \times 10^{-22} [\text{MeV}\cdot\text{s}] = 1$$

$$G_F = 1.166 \times 10^{-5} [\text{GeV}^{-2}]$$

$$m_\mu = 105.66 \text{ MeV} \text{ を用いると } T_\mu \approx 2.2 \mu\text{s}$$

実験値 $T_\mu = 2.197 \mu\text{s}$ と良く合う。

↑スピノン $1/2$ の粒子が弱い相互作用で 3 体崩壊するときの一般式。

exercise. τ レプトニの寿命は?

$$\Gamma = \Gamma_{\text{tot}} \text{ Br}(\tau \rightarrow \mu^- \bar{\nu}_\mu \nu_e) \quad M_\tau = 1.777 [\text{GeV}/c^2]$$

$\hookrightarrow 17.4\%$ \hookrightarrow 見えやすい!

$$T_\tau = \text{Br} \cdot T_\mu \cdot \left(\frac{m_\mu}{m_\tau} \right)^5 \simeq 284 \text{ fs}$$

$$\text{実験値 } T_\tau = 290 [\text{fs}]$$

3. ハーヒ理論

場の量子論 (Quantum Field Theory)

对称性 (symmetry)

3.1 Maxwell 理論

Maxwell理論の作用積分

$$S = \int \mathcal{L} d^4x = \int \left[-\frac{1}{4} (\partial_\mu A_\nu - \partial_\nu A_\mu) (\partial^\mu A^\nu - \partial^\nu A^\mu) \right] d^4x$$

\uparrow Lagrangian 密度

ベクトル, テニヤルの添字の上げ下げ

$$g_{\mu\nu} = (1, -1, -1, -1) = g^{\mu\nu}$$

$$ds^2 = g_{\mu\nu} dx^\mu dx^\nu = (dx^0)^2 - (dx^1)^2 - (dx^2)^2 - (dx^3)^2$$

Minkowski 空間の計量. $g_{00} = -g_{11} = -g_{22} = -g_{33} = 1$.

$$A^r = g^{ru} A_u$$

An: 共変ペクトル

A'' : 反変ベクトル.

$$\partial_m A_\nu \equiv \frac{\partial}{\partial x^m} A_\nu$$

電磁学モードシヤル $A_\mu(x) = (A_0, A_1, A_2, A_3)$ に関する変分

$$\delta S = \int [-\partial_\mu \delta A_\nu (\partial^\mu A^\nu - \partial^\nu A^\mu)] d^4x = \int \delta A_\nu \partial_\mu (\partial^\mu A^\nu - \partial^\nu A^\mu) d^4x = 0$$

⇒ Maxwell 方程式

$$\partial_\mu F^{\mu\nu}(x) = 0 \quad \text{F.F.L. } F^{\mu\nu} \equiv \partial^\mu A^\nu - \partial^\nu A^\mu$$

$$\text{電場 } \vec{E} = (F_{01}, F_{02}, F_{03})$$

$$B = (-F_{33}, -F_{31}, -F_{12}) \quad \text{と定義}.$$

$$\nabla \cdot \vec{E} = 0 \quad \nabla \times \vec{B} - \frac{\partial}{\partial t} \vec{E} = 0$$

$$\nabla \times E + \frac{\partial}{\partial t} B = 0 \quad \nabla \cdot B = 0$$

弱い相互作用

3.2 ベーチボソンの相互作用

QEDでは、局所ゲージ不变性から質量のベクトル場が必要になり、しかもそのベクトル場とフェルミオン粒子との相互作用の形がユニークに決まる。

A^μ : 光子の場

ψ : 電子の場

$$\mathcal{L} = -\frac{1}{4} F^{\mu\nu} F_{\mu\nu} + \bar{\psi} (iD - m_e) \psi \quad \text{--- (1)}$$

$$F^{\mu\nu} = \partial^\mu A^\nu - \partial^\nu A^\mu$$

D : covariant derivative (共変微分)

ψ : 4成分をもつ。 $\bar{\psi}(x) \equiv \psi(x)^+ \gamma^0$

$$\begin{array}{ll} \gamma \text{行列} & \gamma^\mu \gamma^\nu + \gamma^\nu \gamma^\mu = 2 g^{\mu\nu} \\ 4 \times 4 & g^{\mu\nu} = (1, -1, -1, -1) = g_{\mu\nu} \end{array}$$

$$\gamma^0 = \begin{pmatrix} 1 & 0 \\ 0 & -1 \end{pmatrix} \quad \gamma = \begin{pmatrix} 0 & \pi \\ \pi & 0 \end{pmatrix} \quad \text{Pauli 行列}$$

$$\gamma^5 = i \gamma^0 \gamma^1 \gamma^2 \gamma^3 = \begin{pmatrix} 0 & 1 \\ 1 & 0 \end{pmatrix}, \{ \gamma^5, \gamma^\mu \} = 0, \gamma_5^2 = \begin{pmatrix} 1 & 0 \\ 0 & 1 \end{pmatrix}$$

このとき γ^0 Hermite 的 $\gamma^0 = \gamma^0$
 γ^k 反Hermite 的 $(\gamma^k)^+ = -\gamma^k \quad (k=1,2,3)$

共変微分

$$D_\mu \equiv \partial_\mu + ie A_\mu \quad \text{--- (2)}$$

(1) は、時空の関数 $\theta(x)$ (局所ゲージ変換)

$$\psi'(x) = \exp i\theta(x) \psi(x) \quad \text{ユーリ变换 } U(1) \quad \text{--- (3)}$$

ゲージ場 A^μ の変換のもとで不变である。

$$A'_\mu(x) = A_\mu(x) - \frac{i}{e} \partial_\mu \theta(x) \quad A_\mu : \text{アーベル的ゲージ場} \quad \text{--- (4)}$$

Lagrangian (1) は、 $U(1)$ ゲージ群に属する場の極所変換で不变。

$$\begin{aligned} \text{第2項} \quad \mathcal{L}' &= \bar{\psi}' (i\gamma^\mu (\partial_\mu + ie A'_\mu) - m_e) \psi' \\ &= \mathcal{L} \quad \text{に等于ことを示せ。} \end{aligned}$$

↑
場所の置きによる任意の位相の回転をゲージ場 A_μ を通じての
情報電圧を全て打ち消して、物理法則を同じに戻していく。

第1項 $-\frac{1}{4} F^{\mu\nu} F_{\mu\nu}$ Maxwell の Lagrangian

$$[D_\mu, D_\nu] \equiv D_\mu D_\nu - D_\nu D_\mu = ie (\partial_\mu A_\nu - \partial_\nu A_\mu) = ie F_{\mu\nu} \text{ を使う。}$$

3.3 標準電弱理論

$$SU(2) \otimes U(1)$$

3つの質量がのボソン
 W^i ($i=1, 2, 3$)

1つの質量がのボソン (spin 1)
 B

ゲージボソンの Lagrangian は.

— (5)

$$\mathcal{L} = -\frac{1}{4} W^{i\mu\nu} W_{\mu\nu}^i - \frac{1}{4} B^{\mu\nu} B_{\mu\nu}$$

$SU(2)$

Non-Abelian

www, www

ゲージ場 $W_{\mu\nu}^i = \partial_\mu W_\nu^i - \partial_\nu W_\mu^i - g_W \epsilon^{ijk} W_\mu^j W_\nu^k$ — (6)

$$B_{\mu\nu} = \partial_\mu B_\nu - \partial_\nu B_\mu$$

— (7) ($g_W : SU(2)$ ゲージ結合)

↑ Abelian $\delta\gamma\gamma$ は存在しない。

ゲージ場とフェルミ場との
共変微分

$$D^\mu = \delta_{ij} \partial^\mu + i g_W (T \cdot W^\mu)_{ij} + i Y \delta_{ij} g'_W B^\mu$$

($U(1)$ ゲージ結合)

T : $SU(2)$ weak isospin 表現. $\psi = (\nu_e) = \begin{pmatrix} \nu_e \\ \bar{\nu}_e \end{pmatrix}^{+1/2}$

Y : $U(1)$ weak hypercharge

$$T^i = \frac{1}{2} T^a \epsilon^{ijk}$$

$$[T^i, T^j] = i \epsilon^{ijk} T^k, \quad \epsilon^{123} = 1$$

— (9)

$$W_\mu^\pm = \frac{1}{\sqrt{2}} (W_\mu^1 \mp i W_\mu^2), \quad T^\pm = T^1 \pm i T^2 \text{ と定義すると}$$

$$W_\mu \cdot T = W_\mu^3 T_3 + \frac{1}{\sqrt{2}} W_\mu^+ T^+ + \frac{1}{\sqrt{2}} W_\mu^- T^-$$

— (10)

$\equiv \tau^i$, 行列 T^\pm と T^3 は次を満たす。

$$\begin{aligned} [T^+, T^-] &= 2T^3 \\ [T^3, T^\pm] &= \pm T^\pm \end{aligned} \quad — (11)$$

T^+ (T^-) : weak isospin の昇(降)演算子.
 $SU(2)$ doublet 表現で.

$$T^3 = \begin{pmatrix} 1/2 & 0 \\ 0 & -1/2 \end{pmatrix}, T^+ = \begin{pmatrix} 0 & 1 \\ 0 & 0 \end{pmatrix}, T^- = \begin{pmatrix} 0 & 0 \\ 1 & 0 \end{pmatrix} — (12)$$

Lagrangian (5) 4つの質量のないベクトルボソン
weak isospin の下で triplet (W^\pm, W^3) と singlet (B)

↑
現実と違つ (光子のみ質量ゼロ)

- 単に質量項を加えただけでは、局部ゲージ不変性を守らない。
(対称性)

対称性を破る X カニズムが必要.

「自発的対称性の破れ」

Spontaneous symmetry breaking.

3.4 ヒッグス機構

$SU(2) \times U(1)$ 対称性の破れ - Higgs mechanism

スピノルの2つの複素スカラー場からなる場

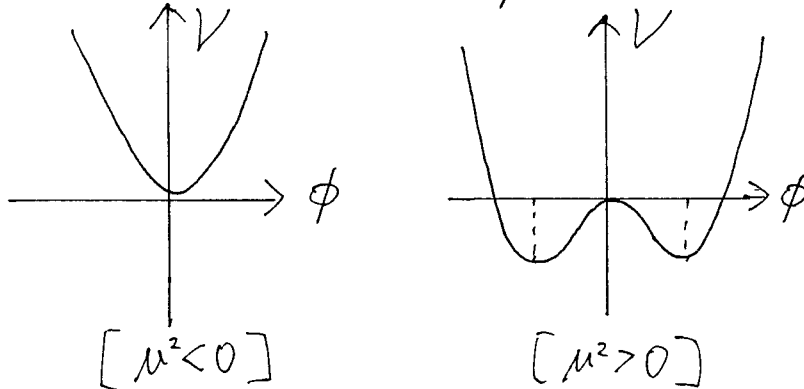
$$\phi = \begin{pmatrix} \phi^+ \\ \phi^0 \end{pmatrix} \quad — (13)$$

$SU(2) \otimes U(1)$ 局所変換で不变な Lagrangian は. (8) 通り。
スカラー場 ϕ とベクトルボソン場.

$$\begin{aligned} \mathcal{L} = & (\partial^\mu \phi^+ + i g_W W^\mu \cdot T \phi^+ + \frac{1}{2} i g'_W B^\mu \phi^+) \\ & \times (\partial_\mu \phi - i g_W W_\mu \cdot T \phi - \frac{1}{2} i g'_W B_\mu \phi) \\ & - V(\phi^+ \phi) \end{aligned} \quad — (14)$$

ここで、ヒッグス・ポテンシャル

$$V(\phi^+ \phi) = \lambda (\phi^+ \phi)^2 - \mu^2 \phi^+ \phi \quad — (15)$$



$\lambda > 0$: ヒッグス自己相互作用.

(13) の複素場を 4つの実スカラー場で置き換えると、

$$\begin{pmatrix} \phi^+ \\ \phi^0 \end{pmatrix} = \begin{pmatrix} \phi_1 + i \phi_3 \\ \phi_2 + i \phi_4 \end{pmatrix} \quad — (16)$$

ヒッグス・ポテンシャル V は.

$$\phi^+ \phi = \phi_1^2 + \phi_2^2 + \phi_3^2 + \phi_4^2 \quad — (17)$$

$V(\phi^+\phi)$ で、 ϕ_3, ϕ_4 をゼロにとると（任意）

最小のポテンシャル。（安定点 = 真空）

$$|\phi| = \sqrt{\frac{M^2}{2\lambda}} \equiv \frac{v}{\sqrt{2}} \quad (18)$$

$SU(2)$ 内部空間で。

$$\langle \emptyset | \phi | \emptyset \rangle = \frac{1}{\sqrt{2}} \begin{pmatrix} 0 \\ v \end{pmatrix} \quad (19)$$

$T^3 + Y$ 変換においては、真空間期待値は不变

$$(T^3 + Y) \langle \phi \rangle = \emptyset \quad (20)$$

$$\text{電荷 } Q \equiv T^3 + Y = \begin{pmatrix} 1 & 0 \\ 0 & 0 \end{pmatrix} \quad (21)$$

内部グループ空間で

(19) は、 $SU(2) \otimes U(1)$ 対称性を破つた。特定の方向を選んでいい。

新しいベニゲス場、ポテンシャル最低のまわりの「ゆるぎ」を考える。

$$\phi = U^{-1}(\xi) \begin{pmatrix} 0 \\ (H+v)/\sqrt{2} \end{pmatrix} \quad (22)$$

$$U(\xi) = \exp(-iT \cdot \xi/v) \quad (23)$$

まだ自由度がある。 $3\xi_3, 1H$

次のゲージ変換を考える。

$$\phi \rightarrow U(\xi) \phi$$

$$T \cdot W^\mu \rightarrow U T \cdot W^\mu U^{-1} + \frac{i}{g_W} (\partial^\mu U) U^{-1} \quad (24)$$

(25)

ξ 自由度は消えて、重いゲージボソンの末成分として、また現れる。

ヒッグスの Lagrangian は。

$$\mathcal{L} = \frac{1}{2} \partial_\mu H \partial^\mu H - V \left(\frac{(V+H)^2}{2} \right) + \frac{(V+H)^2}{8} \chi^\dagger (2g_W T \cdot W_\mu + g'_W B_\mu) (2g_W T \cdot W^\mu + g'_W B^\mu) \chi$$

(26)

ここで、 χ は、真空期待値のまわりの 単位ゲートル

$$\chi = \begin{pmatrix} 0 \\ 1 \end{pmatrix} \quad (27)$$

Higgs 機構

→ 自発的に破れた対称性をもつスカラー場にゲージ場が結合したときには、質量の南部-ゴールドスン場は、本来横波のみの物理的自由度を持つが、ゲージ場の縦波成分に吸収され、ゲージ場は質量をもつベクトル場に変る

ベクトルボソン場の quadratic term を計算すると。

$$\mathcal{L}_M = \frac{V^2}{8} [(g_W W_M^3 - g'_W B_M)(g_W W^{3\mu} - g'_W B^\mu) + 2g_W^2 W_\mu^- W^{+\mu}] \quad (28)$$

B と W^3 場のプロペレーターが直交しているので、新たに A_μ と Z_μ を導入

$$\begin{pmatrix} W_\mu^3 \\ B_\mu \end{pmatrix} = \begin{pmatrix} \cos\theta_W & \sin\theta_W \\ -\sin\theta_W & \cos\theta_W \end{pmatrix} \begin{pmatrix} Z_\mu \\ A_\mu \end{pmatrix} \quad (29)$$

θ_W : クインバーグ角 (electroweak mixing angle)

$$\sin^2\theta_W = \frac{g'^2_W}{g^2_W + g'^2_W} \simeq 0.23 \quad (30)$$

すると、

$$\mathcal{L}_M = \frac{g_W^2 V^2}{4} W_\mu^+ W^{-\mu} + \frac{(g_W^2 + g'^2_W) V^2}{8} Z_\mu Z^\mu \quad (31)$$

W ボソンと Z ボソンの 質量項が出た！

$$\left\{ \begin{array}{l} M_W = \frac{1}{2} g_W V \\ M_Z = \sqrt{g_W^2 + g'^2_W} \end{array} \right. \quad (32)$$

$$\left\{ \begin{array}{l} M_Z = \frac{1}{2} \sqrt{g_W^2 + g'^2_W} \cdot V = \frac{M_W}{\cos\theta_W} \end{array} \right. \quad (33)$$

$A_\mu A^\mu$ の項はないので、光子は質量がゼロのまま残る。

低エネルギーでの弱い相互作用力。

$$\frac{g_W^2}{8M_W^2} \equiv \frac{1}{2v^2} = \frac{G_F}{\sqrt{2}} \quad (34)$$

G_F : フェルミ定数
 $1.166 \times 10^{-5} \text{ GeV}^{-2}$

まとめると。

ヒッグス場（スカラー場）の中には、0から離れた真空期待値を持つ。対称性は、自発的に破れてしまう。

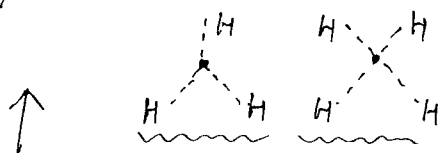
→ 南部・ゴールドストンの定理

3つの質量の粒子（スカラー）が存在。


正しくない。4つの自由度（スカラー場）のうち3つが
ゲージ粒子に「食われて」、 (W, Z^0) が現れる。
 残りは、中性スカラー粒子、Higgs。

Higgsボソンの自己結合の項は、(26) 扱

$$\mathcal{L}_{\text{Higgs}} = \frac{1}{2} \partial_\mu H \partial^\mu H - \mu^2 H^2 - \lambda H^3 - \frac{1}{4} \lambda H^4 \quad (35)$$



従って。

$$M_H = \sqrt{2}\mu \equiv \sqrt{2\lambda} v \quad \left\{ \begin{array}{l} \text{複数の Higgs を作り出す} \\ \text{① これは標準模型よりも} \\ \text{② cross section が大きい} \end{array} \right.$$

以上が、Minimal Model。

標準模型を超えて。

SUSY, GUT, などのモデルでは。

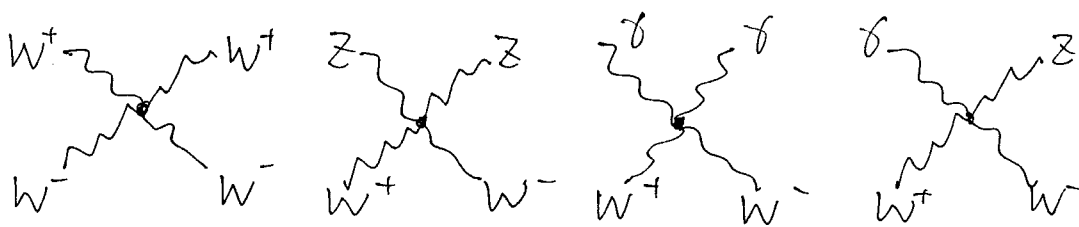
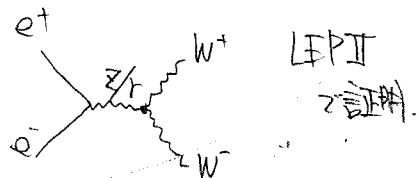
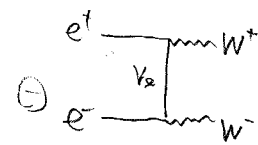
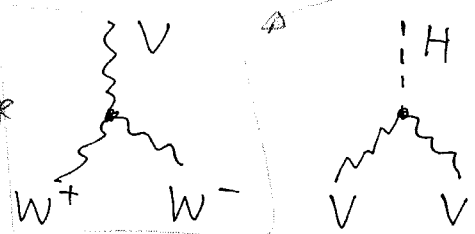
⋮

2HDM 2つ以上の Higgs doublet.

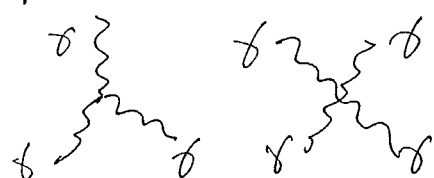
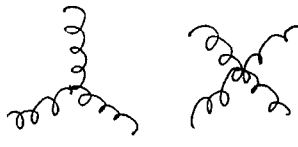
3.5 ボソン結合 Vector boson の自己結合

$$V = \gamma, Z, W$$

TGC
Triple Gauge Coupling



cf. gluon Non-Abelian SU(3) photon Abelian U(1)



存在しない!

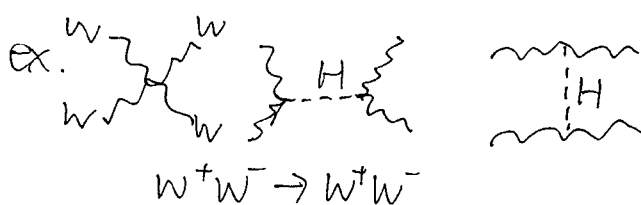
すべての、弾性ボソン-ボソン散乱を考慮すると。

$$M_H < \left(\frac{8\sqrt{2}\pi}{3G_F} \right)^{1/2} \simeq 1 \text{ TeV}.$$

Lee et al.

PRL 38 (1977) 883

PRD 16 (1977) 1519



$M_H > 1 \text{ TeV}$ だと 標動理論で計算出来ない。の強相互作用的
WL WL 散乱 - strong interaction of E.W. boson.

3.6. ネルミオン

ネルミオンとベクトルボソンとの結合は、(対称性の破れの前)
(8)式の共変微分を使って。

$$\mathcal{L} = \bar{\psi}_R i(\not{D} + ig'_W Y_R \not{B}) \psi_R + \bar{\psi}_L i(\not{D} + ig_W T^a W^a + ig'_W Y_L \not{B}) \psi_L$$

$U(1)$ charge Y_L, Y_R

$$Q = T^3 + Y$$

左巻きのレプトンは doublet。右巻きのレプトンは singlet

$$\begin{cases} \psi_L = \chi_L (\nu_e), \chi_L (\nu_\mu), \chi_L (\nu_\tau) \\ \psi_R = \chi_R e^-, \chi_R \mu^-, \chi_R \tau^- \end{cases} \quad \begin{matrix} \rightarrow m_\nu = 0 \\ (\nu_R \text{ は存在しない}) \\ \text{if. } m_\nu \neq 0 \\ \text{Dirac or Majorana} \end{matrix}$$

[Majorana 特性
和と反対が同じ]

$$\chi_L = \frac{1}{2}(1 - \gamma_5), \quad \chi_R = \frac{1}{2}(1 + \gamma_5)$$

弱相互作用は、レプトンや夸るの左巻き成分とが反応しない。

Fermion	Q_f	T_L^3	Y_L	T_R^3	Y_R
ν_e, ν_μ, ν_τ	0	+1/2	-1/2	-	-
e^-, μ^-, τ^-	-1	-1/2	-1/2	0	-1
u, c, t	+2/3	+1/2	+1/6	0	+2/3
d, s, b	-1/3	-1/2	+1/6	0	-1/3

γ_5 も同じ。

$$\begin{cases} \psi_L = \chi_L (u_d), \chi_L (c_s), \chi_L (t_b) \Leftarrow \text{doublet} \\ \psi_R \Leftarrow \text{singlet} \end{cases}$$

3.7

湯川結合

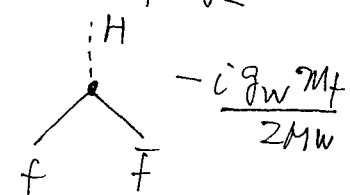
Higgs 場 の湯川結合により フェルミオンの質量が与えられる。

自発的対称性の破れを行なうと、

$$g_f \bar{\psi}_f \psi_f \phi \rightarrow \text{フェルミオンの質量} \quad m_f = \frac{g_f v}{\sqrt{2}}$$

top	175 GeV
bottom	42.5 GeV
charm	1.55 GeV
strang	280 MeV
down	10 MeV
up	5 MeV

$$\bar{\psi}_f \psi_f H \quad g_f = \frac{\sqrt{2} m_f}{v}$$



Yukawa coupling.

fermion の質量と比較する!

$$\begin{aligned} g_e &= 3 \times 10^{-6} \\ g_u &= 2 \times 10^{-5} \\ g_d &= 4 \times 10^{-5} \end{aligned}$$

$$\begin{aligned} g_\mu &= 6 \times 10^{-4} \\ g_c &= 9 \times 10^{-3} \\ g_s &= 8 \times 10^{-4} \end{aligned}$$

$$\begin{aligned} g_t &= 1 \times 10^{-2} \\ g_c &= 1 \\ g_b &= 3 \times 10^{-2} \end{aligned}$$

$$M_{top} = 175 \text{ GeV} \rightarrow Y_t \approx 1 \quad (\text{何故かは分からぬ})$$

相互作用の Lagrangian は、

$$g_t^2 = \frac{2 m_t^2}{v^2} = 2 \sqrt{2} G_F m_t^2$$

$$\begin{aligned} \mathcal{L} = & \sum_f \bar{\psi}_f \left(i \gamma^\mu - m_f - g_W \frac{m_f H}{2 M_W} \right) \psi_f \\ & - \frac{g_W}{2 \sqrt{2}} \sum_f \bar{\psi}_f \left(\gamma^\mu (1 - \gamma_5) T^+ W_\mu^+ + \gamma^\mu (1 - \gamma_5) T^- W_\mu^- \right) \psi_f \\ & - e \sum_f Q_f \bar{\psi}_f A^\mu \psi_f - \frac{g_W}{2 \cos \theta_W} \sum_f \bar{\psi}_f \gamma^\mu (V_f - A_f \gamma_5) \psi_f Z_\mu \end{aligned}$$

====

$$\begin{cases} V_f = T_f^3 - 2 Q_f \sin^2 \theta_W \\ A_f = T_f^3 \end{cases}$$

weak SU(2) charge g_W $e = g_W \sin \theta_W$

アーリミ結合定数.

$$\frac{G_F}{\sqrt{2}} = \frac{g_W^2}{8 M_W^2}$$

標準模型.

$$\alpha = \frac{g_W^2 \sin^2 \theta_W}{4\pi} = 1/137.035\,989\,5(61)$$

$$G_F = \frac{1}{\sqrt{2} v^2} = 1.166\,39(2) \times 10^{-5} \text{ GeV}^{-2}$$

$$M_Z = \frac{\frac{1}{2} g_W v}{\cos \theta_W} = 91.188\,5(22) \text{ GeV}$$

$$v = 246 \text{ GeV}$$

3.8. ヒッグス粒子の崩壊

$H \rightarrow W^+W^-$ Feynmanルールを用いて計算すると。

$$\sum_{\text{spin}} |\mathcal{M}_n|^2 = \frac{g_W^2 M_H^4}{4 M_W^2} \left(1 - 4 \frac{M_W^2}{M_H^2} + 12 \frac{M_W^4}{M_H^4} \right)$$

$$d\Gamma = \frac{(2\pi)^4}{2M} |\mathcal{M}_n|^2 d\Phi_n(P; p_1, \dots, p_n) \quad \xleftarrow{\text{see.}} \text{PDG.}$$

n 体の位相空間は。

$$d\Phi_n(P; p_1, \dots, p_n) = \delta^4(P - \sum_{i=1}^n p_i) \prod_{i=1}^n \frac{d^3 p_i}{(2\pi)^3 2E_i}$$

2体崩壊。

$$d\Gamma = \frac{1}{32\pi^2} |\mathcal{M}_n|^2 \frac{|P_1|}{M^2} d\Omega$$



以上より。

$$\Gamma(H \rightarrow W^+W^-) = \frac{g_W^2 M_H^3}{64\pi M_W^2} \cdot \left(1 - \frac{4M_W^2}{M_H^2} \right)^{1/2} \left(1 - \frac{4M_W^2}{M_H^2} + \frac{12M_W^4}{M_H^4} \right)$$

$M_H \gg M_W$ のとき。

$$\Gamma(H \rightarrow W^+W^-) = \left(\frac{M_H^3}{M_W^2} \right), \quad M_W = 80 \text{ GeV}$$

$M_H > M_W$ \Leftarrow 縦偏極した $W_L W_R$ 散乱のため。

ヒッグス粒子の崩壊のまとめ

$$\Gamma(H \rightarrow f\bar{f}) \quad \frac{N_c G_F m_f^2 M_H}{4\pi\sqrt{2}} \left(1 - \frac{4m_f^2}{M_H^2}\right)^{3/2}$$

$$\Gamma(H \rightarrow W^+W^-) \quad \frac{G_F M_H^3}{8\pi\sqrt{2}} \left(1 - \frac{4M_W^2}{M_H^2}\right)^{1/2} \left(1 - \frac{4M_W^2}{M_H^2} + \frac{12M_W^4}{M_H^4}\right)$$

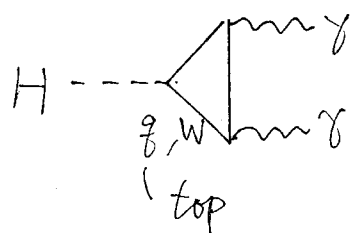
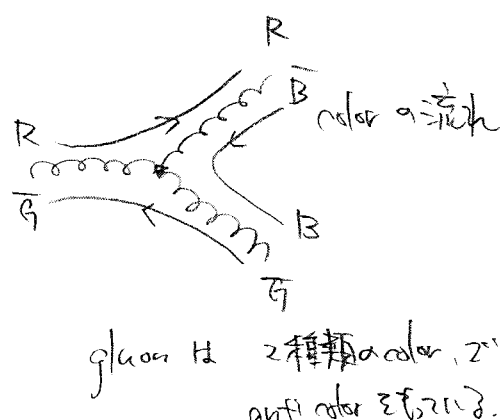
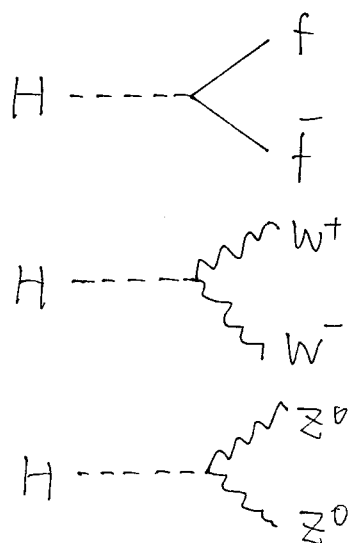
(1)

$$\Gamma(H \rightarrow ZZ) \quad \frac{G_F M_H^3 M_W^2}{16\pi\sqrt{2} M_Z^2} \left(1 - \frac{4M_Z^2}{M_H^2}\right)^{1/2} \left(1 - \frac{4M_Z^2}{M_H^2} + \frac{12M_W^4}{M_H^4}\right)$$

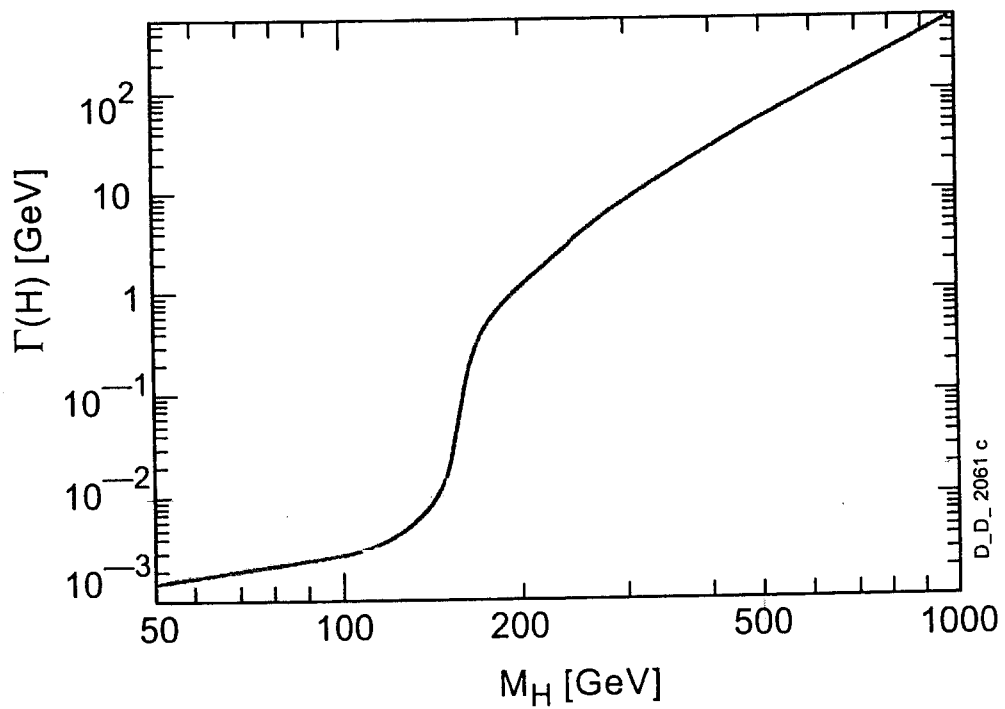
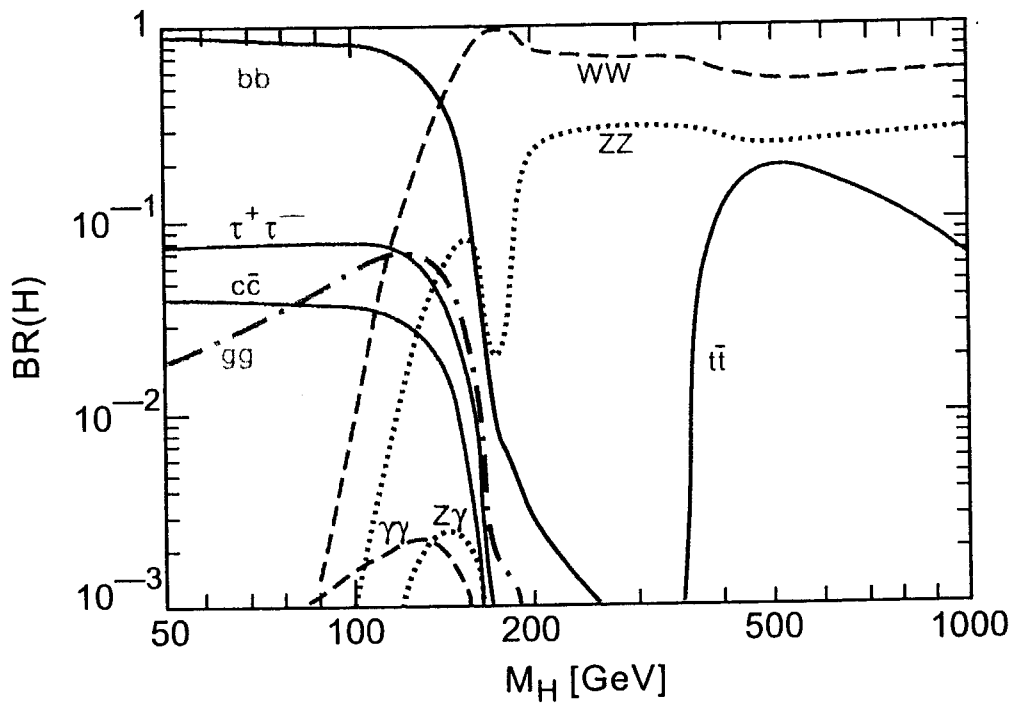
[計算結果] $\times \frac{1}{2} [1 < 2 \text{ の SFSB}]$

$$\Gamma(H \rightarrow \gamma\gamma) \quad \frac{\alpha^2 G_F M_H^3}{128\sqrt{2}\pi^3} \left| \sum_g 3e_g^2 I_g\left(\frac{m_\gamma^2}{M_H^2}\right) + I_W\left(\frac{M_W^2}{M_H^2}\right) \right|^2$$

$$\begin{cases} I_g(x) = 4x [2 + (4x-1)F(x)] \\ I_W(x) = -2 [6x + 1 + 6x(2x-1)F(x)] \\ F(x) = \theta(1-4x)\frac{1}{2} \left[\ln\left(\frac{1+\sqrt{1-4x}}{1-\sqrt{1-4x}}\right) - i\pi \right]^2 \\ \quad - \theta(4x-1) 2 \left[\sin^{-1}\left(\frac{1}{2\sqrt{x}}\right) \right]^2 \end{cases}$$



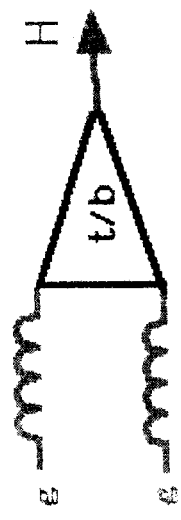
SM Higgs
Branching ratios and total decay width



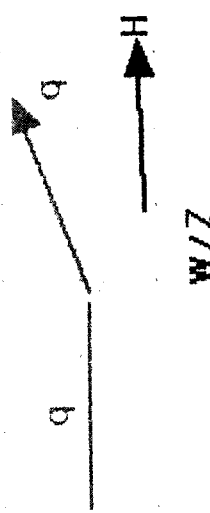
3.9 ヒッグス粒子の生成.

Higgs Production at Hadron Collider

gg fusion

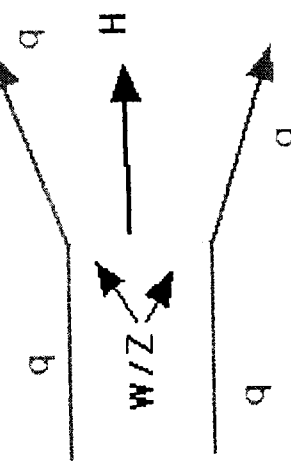


Associated WH, ZH



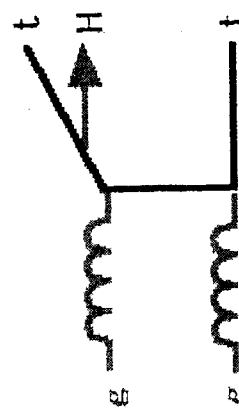
large σ , low P_t except H

WW/ZZ fusion



large σ , low P_t except H
gauge boson in final state (clean)

Associated ttH

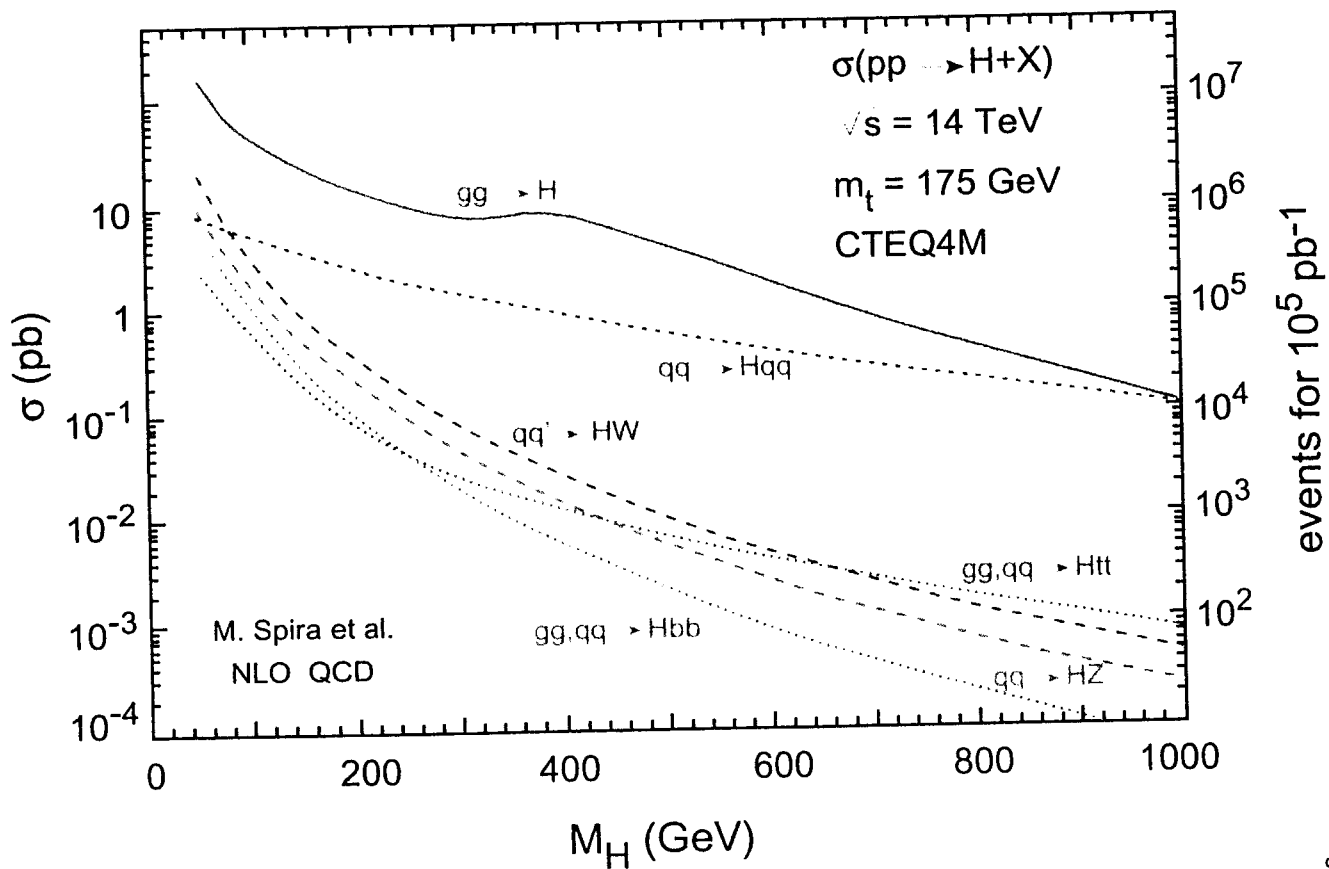
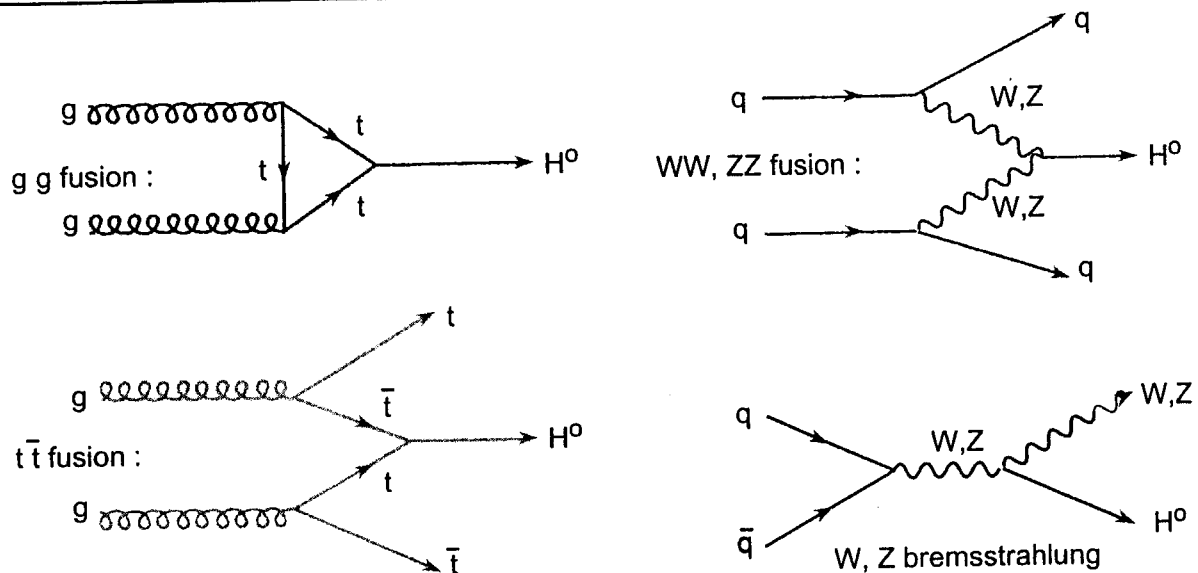


2 forward jets with $P_t \sim M_W/2$

Yukawa(湯川) coupling

Higgs production&decay $\rightarrow Y_b, Y_b, Y_\tau, g_{HWW}, g_{HZZ}$ information!

H^0 production at hadron colliders:

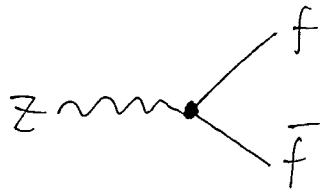


But : $\text{BR}(H \rightarrow Z_i Z_i \rightarrow 4l^-) = 1.4 \times 10^{-3}$
 $\text{BR}(H \rightarrow Z_i Z_i \rightarrow 4\mu^-) = 3 \times 10^{-4}$

3.10 W, ゾボソンの崩壊.

標準模型(理論)における W^\pm , ゾボソンの崩壊のテスト
LEP, Tevatron.

$$Z \rightarrow f\bar{f}$$



ゾボソンと フェルミオンとの結合

$$\begin{cases} V_f = T_f^3 - 2Q_f \sin^2\theta_W & : \text{vector} \\ A_f = T_f^3 & : \text{axial-vector} \end{cases}$$

右巻きは weak isospin singlet, weak current に

T_f^3 : 左巻きフェルミオンの weak isospin の第3成分 寄与しない。

θ_W : weak mixing angle

weak SU(2) charge g_W

$$e = g_W \sin\theta_W$$

$$\sin^2\theta_W = 1 - \frac{M_W^2}{M_Z^2} = \frac{e^2}{g^2}$$

$$Z \rightarrow f\bar{f}$$

Fermions	Q_f	V_f	A_f
$\nu_e \nu_\mu \nu_\tau$	0	$1/2$	$+1/2$
$e \mu \tau$	-1	$1/2 \cdot (-1 + 4\sin^2\theta_W)$	$-1/2$
$u c t$	$+2/3$	$1/2 \cdot (1 - 8/3 \cdot \sin^2\theta_W)$	$+1/2$
$d s b$	$-1/3$	$1/2 \cdot (-1 + 4/3 \cdot \sin^2\theta_W)$	$-1/2$

$$\sin^2\theta_W = 0.232$$

$$V_f \left\{ \begin{array}{l} \text{lepton} \quad -0.036 \\ \text{up quark} \quad +0.191 \\ \text{down } \quad -0.345 \end{array} \right.$$

P-parameter.

$$P = \frac{M_W^2}{M_Z^2 \cos^2 \theta_W}$$

中性と荷電カレントの割合.
 → 最低次の Standard Model で $P=1$.

LEP & SLC

$$\begin{cases} M_W = 80.22 \pm 0.26 \text{ GeV} \\ M_Z = 91.1884 \pm 0.0022 \text{ GeV} \\ \sin^2 \theta_W = 0.2325 \pm 0.0013 \end{cases}$$

$$\rightarrow P = 1.008 \pm 0.007$$

$P=1 \Leftarrow$ Standard Model での仮定に従う.

Higgs ポテンシヤル. or Higgs 場 = doublet

ex. triplet (isospin) $\neq 1$.

$\sin^2 \theta_W$ の定義.

$$\begin{cases} \sin^2 \theta_W = 1 - \frac{M_W^2}{M_Z^2} \simeq 0.226 & \text{on-shell scheme.} \\ \sin^2 \theta_W = 0.2325 & \overline{\text{MS}} \text{ scheme.} \end{cases}$$

$\Xi(\bar{f}) \rightarrow f(p) \bar{f}(p')$ の partial width.

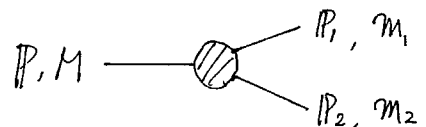
$\swarrow V-A$ theory.

$$\frac{-ig_W}{2\cos\theta_W} \bar{u}(p)\gamma^\mu(V_f - A_f\gamma_5)v(p')\epsilon_\mu(f)$$

$$g_S = i\gamma_1\gamma_2\gamma_3\gamma_4$$

スピン偏極について、平均をとると、行列要素の2乗は。

$$\sum_{Spin} |\alpha_m|^2 = \frac{8}{3} \frac{G_F M_Z^4}{\sqrt{2}} (|V_f|^2 + |A_f|^2)$$



エボソノの3つの偏極については。

$$\sum_i \epsilon_\mu^{(i)}(\bar{f}) \epsilon_\nu^{(i)*}(\bar{f}) = -g_{\mu\nu} + \frac{g_W g_V}{M_Z^2}$$

n 体崩壊の Lorentz 不変な位相空間は。 (PDG 参照 kinematics)

$$d\Phi_n(P; p_1, \dots, p_n) = \delta^4(P - \sum_{i=1}^n p_i) \prod_{i=1}^n \frac{d^3 p_i}{(2\pi)^3 2E_i}$$

崩壊幅は。

$$d\Gamma = \frac{(2\pi)^4}{M} |\alpha_m|^2 d\Phi_n(P; p_1, \dots, p_n)$$

$$\begin{aligned} &\text{2体崩壊} \quad d\Phi_2(P; p_1, p_2) = \frac{1}{8\pi} \cdot \frac{2|P_1|}{M_p} \cdot \frac{d\Omega}{4\pi} \cdot \frac{1}{(2\pi)^4} \\ &\rightarrow d\Gamma = \frac{1}{32\pi^2} |\alpha_m|^2 \cdot \frac{|P_1|}{M^2} d\Omega \quad d\Omega = d\phi, d(\cos\theta_1) \end{aligned}$$

$$\left\{ \begin{array}{l} \Gamma(\Xi^0 \rightarrow f\bar{f}) = N_C \frac{G_F M_Z^3}{6\sqrt{2}\pi} (|V_f|^2 + |A_f|^2) \\ \Gamma(W^\pm \rightarrow f\bar{f}) = N_C \frac{G_F M_W^3}{6\sqrt{2}\pi} |V_{ij}|^2 \end{array} \right. \quad N_C = \begin{cases} 1 & \text{leptons} \\ 3 & \text{quarks} \end{cases}$$

CKM Matrix.

Total Width.

$$\Gamma(\Xi) = 2.5 \text{ GeV}$$

$$\Gamma(W) = 2.1 \text{ GeV}$$

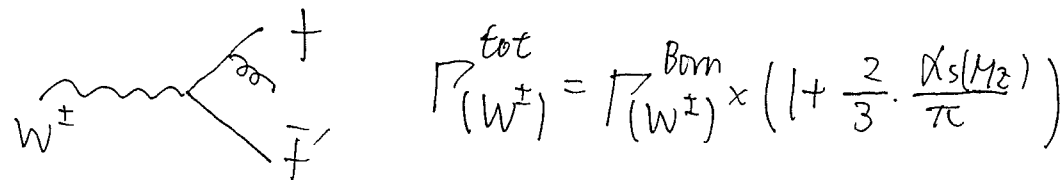
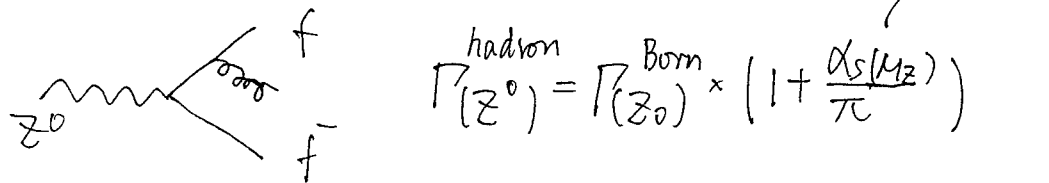
(1行1列 diagonal)
 $V_{ii} \approx 1$

$$\frac{\Gamma(Z \rightarrow W)}{\Gamma(Z \rightarrow \ell^+ \ell^-)} = \frac{2}{1 + (1 - 4 \sin^2 \theta_W)^2} \simeq 1.99$$

Z^0 boson	相对的有比. ($V_f^2 + A_f^2$) $\stackrel{N_c}{\sim}$	分歧比 (%)
$Z \rightarrow \nu_e \bar{\nu}_e, \nu_\mu \bar{\nu}_\mu, \nu_\tau \bar{\nu}_\tau$	$1/2$	$3 \times 6.8\%$
$Z \rightarrow e^+ e^-, \mu^+ \mu^-, \tau^+ \tau^-$	$\frac{1}{4} + (\frac{1}{2} - 2 \sin^2 \theta_W)^2$	$3 \times 3.4\%$
$Z \rightarrow u \bar{u}, c \bar{c}$	$3 [\frac{1}{4} + (\frac{1}{2} - \frac{4}{3} \sin^2 \theta_W)^2]$	$2 \times 11.8\%$
$Z \rightarrow d \bar{d}, s \bar{s}, b \bar{b}$	$3 [\frac{1}{4} + (\frac{1}{2} - \frac{2}{3} \sin^2 \theta_W)^2]$	$3 \times 15.2\%$

W^\pm boson		
$W^+ \rightarrow e^+ \nu_e, \mu^+ \nu_\mu, \tau^+ \nu_\tau$	1	$3 \times 11.1\%$
$W^+ \rightarrow u \bar{d} \quad (u \bar{s}, u \bar{b})$	3	33.3 %
$W^- \rightarrow c \bar{s} \quad (c \bar{d}, c \bar{b})$	3	33.3 %

QCD correction for quarks



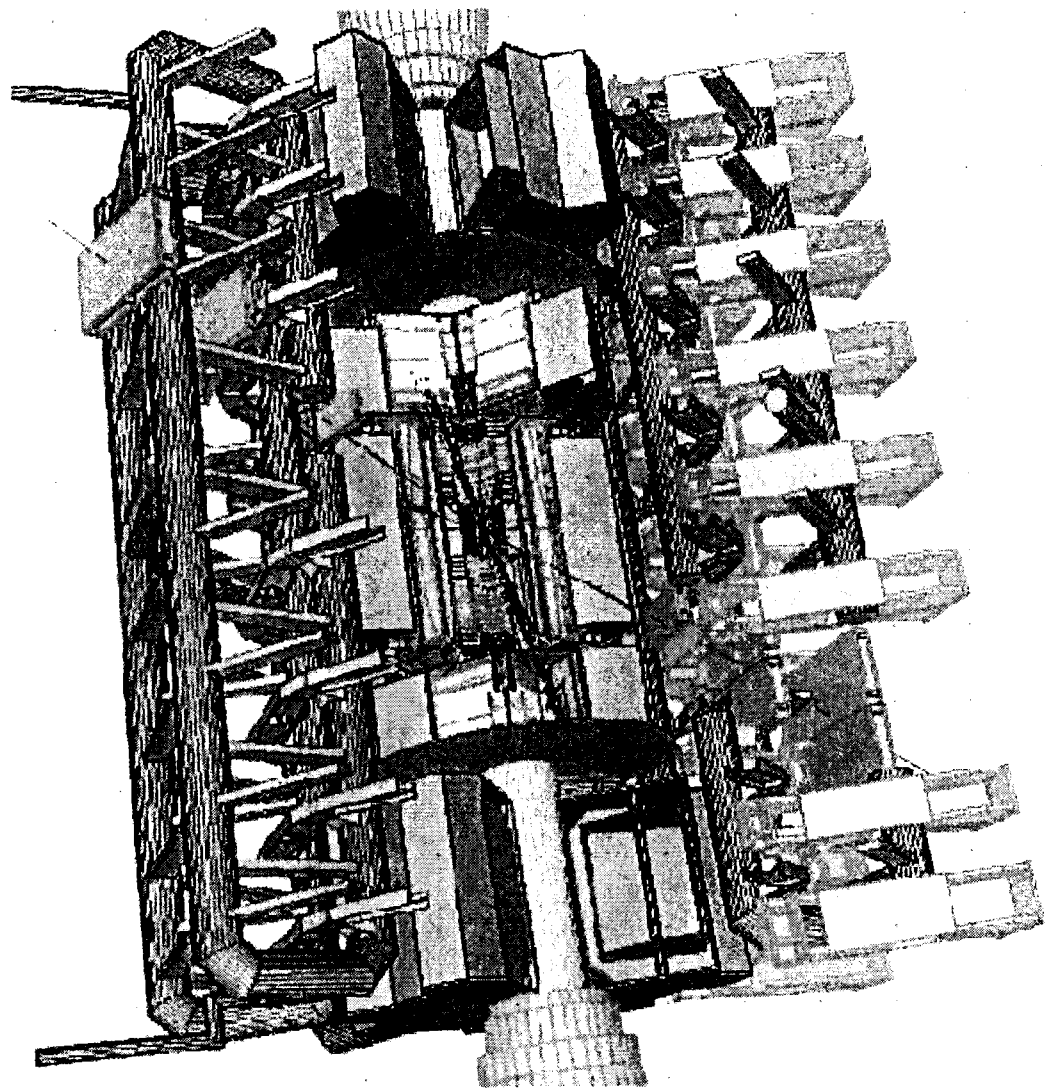
cf. QED $\frac{3\alpha}{4\pi} \cdot Q_f^2 \lesssim 0.17\%$

5. ハドロン・コライダーでの検出器

5.1 概念・設計

ATLAS (A Toroidal LHC Apparatus)

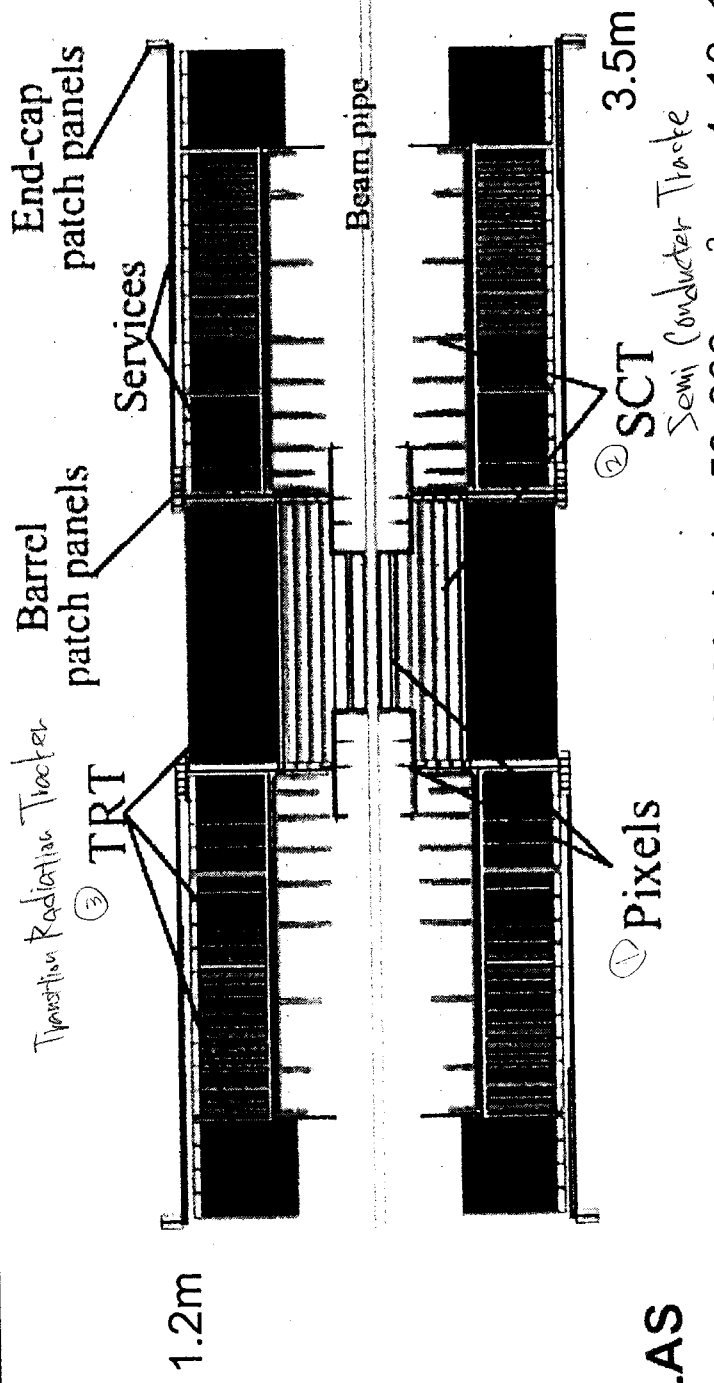
- Liq.Ar EM calorimeter
good e/ γ id, energy, E_T^{miss}
- muon spectrometer
air-core toroidal magnet
 $\int B dl = 2 \sim 6 \text{Tm}$ ($4 \sim 8 \text{Tm}$)
- inner tracking system
pixel, silicon strip, TRT
2T solenoid magnet
good e/ γ id, τ/b -tag



ATLAS detector

tracker $|\eta| < 2.5$
calorimeter $|\eta| < 4.9$

Trackers at LHC



ATLAS

Pixels: $\sim 2.3 \text{ m}^2$ of silicon sensors, 140 M pixels, $50 \times 300 \mu\text{m}^2$, $r = 4, 10, 13 \text{ cm}$
Si μ -strips : 60 m^2 of silicon sensors, 6 M strips, 4 pts, $r = 30 - 50 \text{ cm}$
Straws TRT: 36 straws/track, Xe- CO_2 - CF_4 $\phi = 4 \text{ mm}$, $r = 56 - 107 \text{ cm}$

CMS: Si pixels surrounded by silicon strip detectors

Pixels: $\sim 1 \text{ m}^2$ of silicon sensors, 40 M pixels, $150 \times 150 \mu\text{m}^2$, $r = 4, 7, 11 \text{ cm}$
Si μ -strips : 223 m^2 of silicon sensors, 10 M strips, 12 strips, $r = 20 - 120 \text{ cm}$

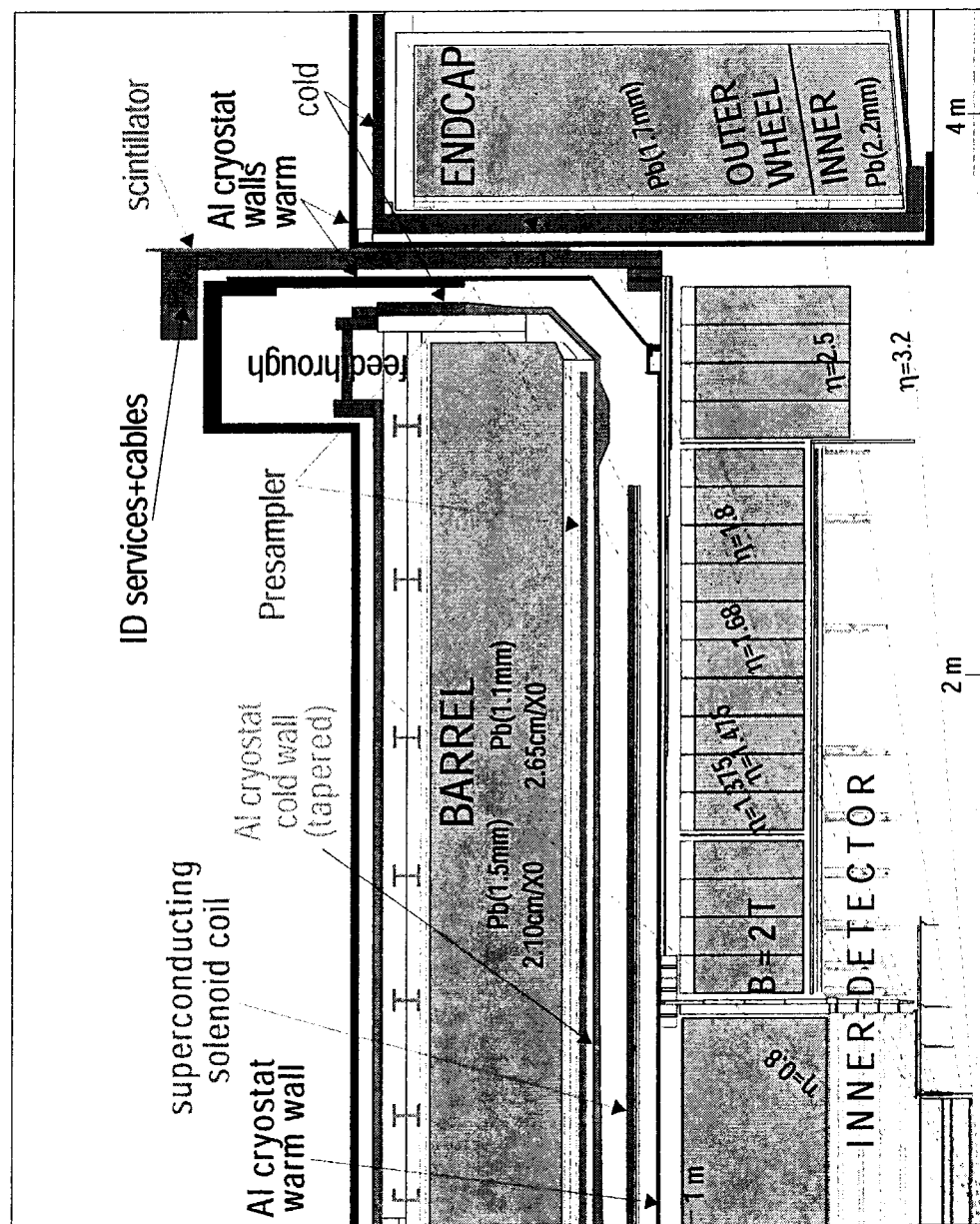


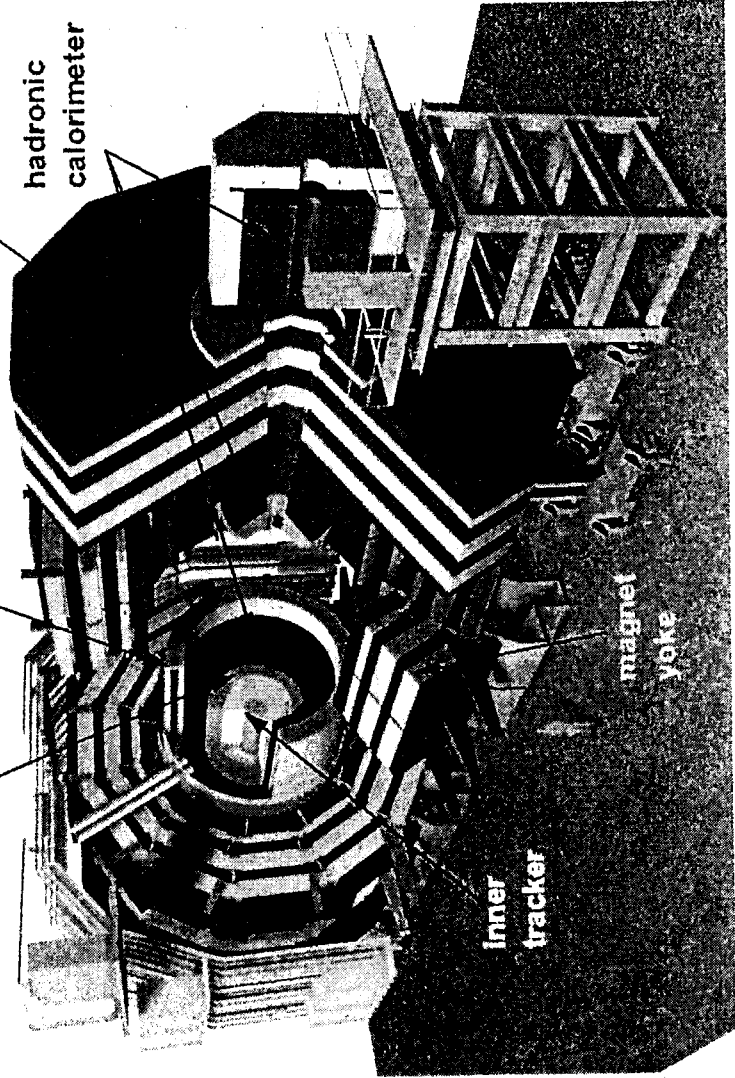
Figure 4-1 Longitudinal view of a quadrant of the ATLAS EM Calorimeter.

CMS (Compact Muon Solenoid)

Basic Design Criteria of CMS

- 4T solenoid
- Compact muon spectrometer
- EM calorimeter PbWO_4 for $H \rightarrow \gamma\gamma$

A general purpose pp detector designed to run at the highest LHC luminosity but also well adapted for studies at the initial lower luminosities in order to fully exploit the discovery potential offered by LHC



- 1) Very good muon (μ^\pm) identification and momentum measurement.
- 2) As precise as possible a measurement of the energies of photons (γ) and electrons (e^\pm) consistent with (1).
- 3) A central tracking detector that allows reconstruction of charged particle tracks and precise measurement of momenta to achieve (1) and (2).
- 4) A robust and cost effective detector.

CMS layout and detectors

